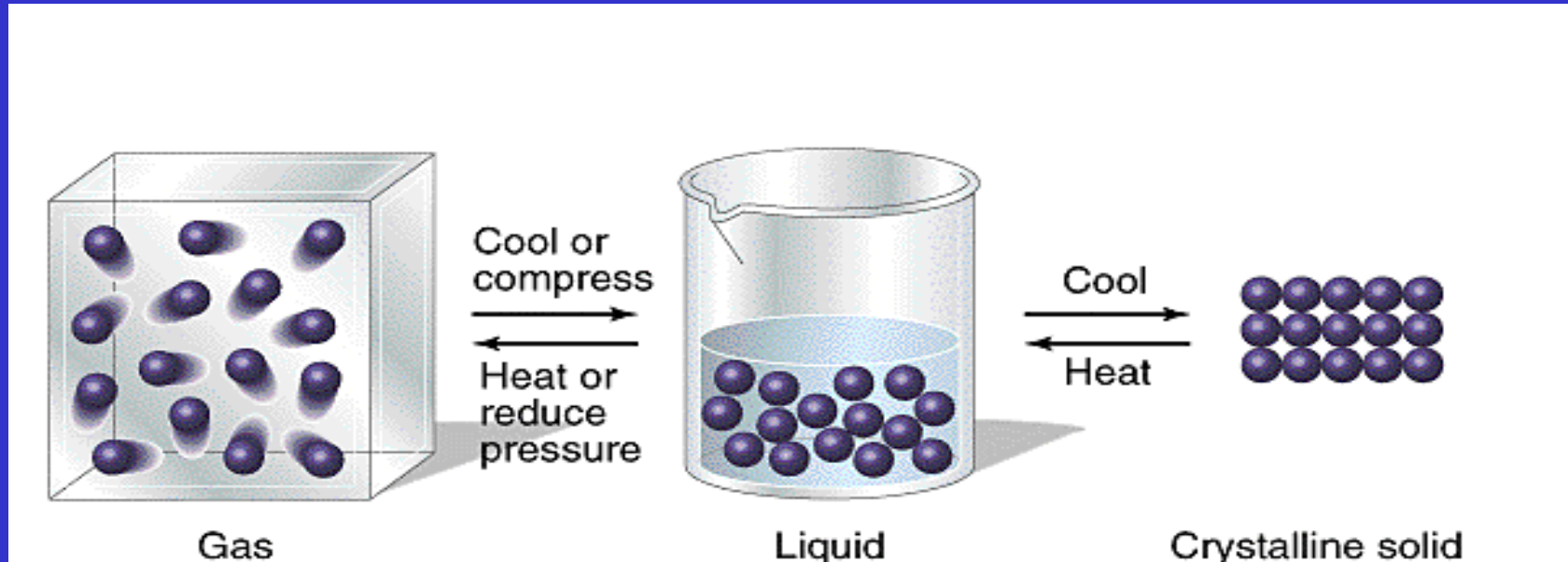


# Skupenské stavy



## Plyn

Zcela neuspořádané  
Hodně volného prostoru  
Zcela volný pohyb částic  
Částice daleko od sebe

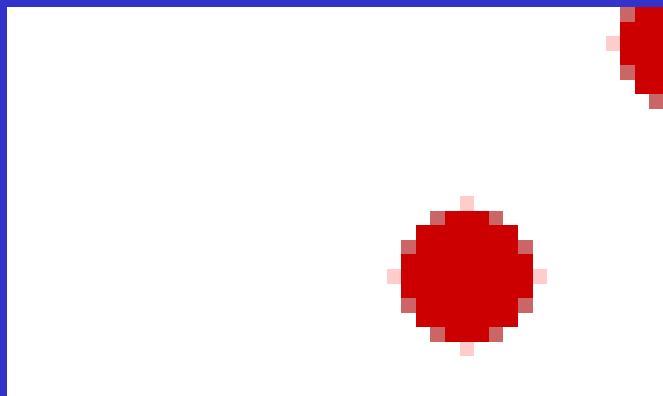
## Kapalina

Částečně neuspořádané  
Volný pohyb částic nebo skupin částic  
Částice blíže u sebe

## Pevná látka

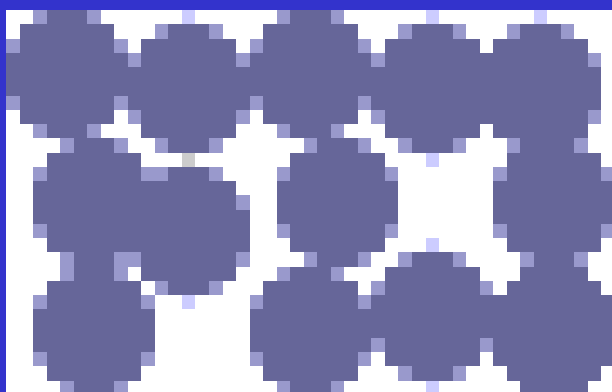
Pravidelně uspořádané  
Částice na stálých pozicích  
Částice blízko u sebe

# Skupenské stavy

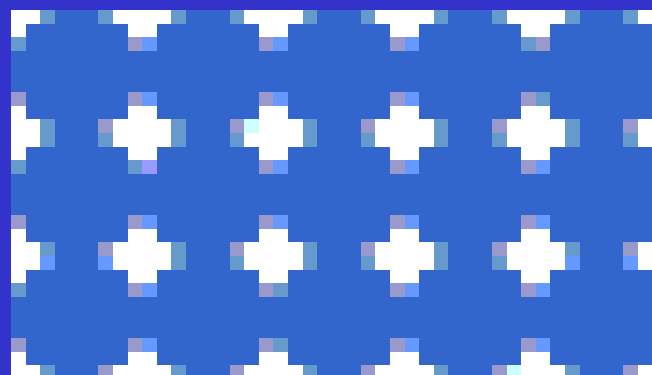


Plyn

Skupenství vody	Teplota, °C (tlak 1 bar)	Hustota, g cm <sup>-1</sup>
pevné	0	0.9168
kapalné	25	0.9971
plynné	400	3.26 10 <sup>-4</sup>

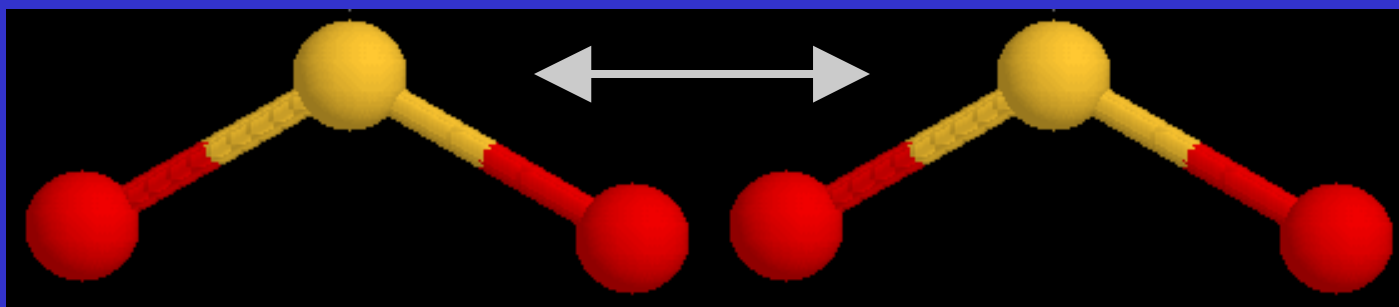
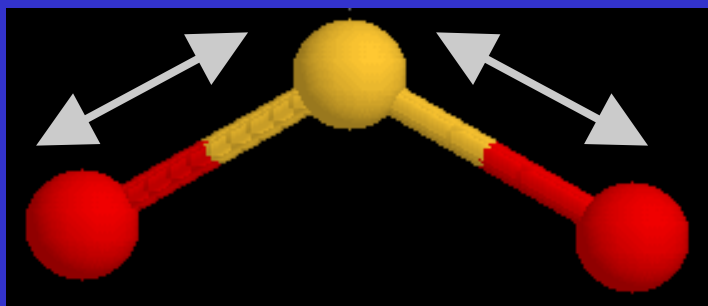


Kapalina

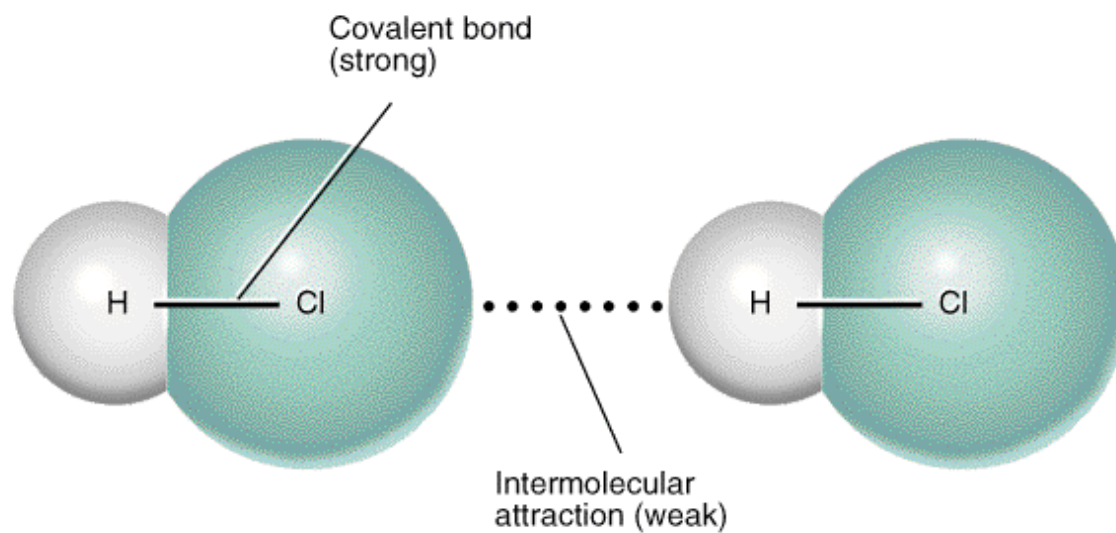


Molekulový krystal

## Rozdíl mezi kovalentní vazbou a mezimolekulovými silami



Typ vazby	Energie, kJ mol <sup>-1</sup>
Kovalentní	200 – 1000
Vodíková	10 – 50 (100)
Dipol-dipolová	2 – 10
Londonova disperzní	> 5



## Typy mezimolekulových vazeb (van der Waalsových interakcí)



J. D. van der Waals  
(1837- 1923)  
NP za chemii 1910

ion – ion Coulombické interakce

ion – dipol

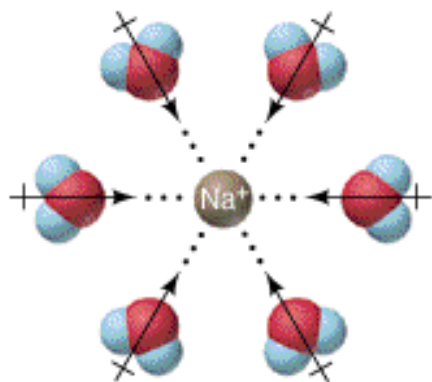
dipol – dipol → orientační, Keesom

dipol – indukovaný dipol → indukční, Debye

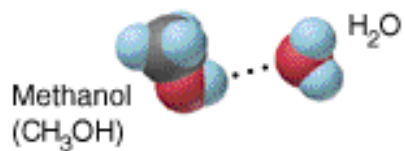
ion – indukovaný dipol

indukovaný dipol – indukovaný dipol → disperzní, London

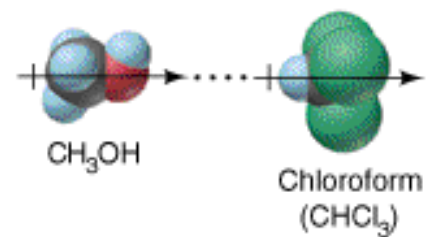
van der Waalsova repulze (odpuzování)



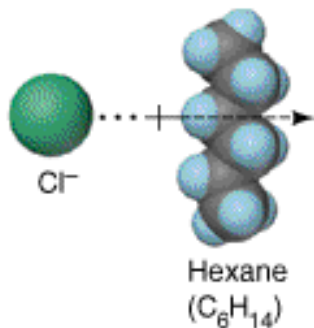
Ion-dipole



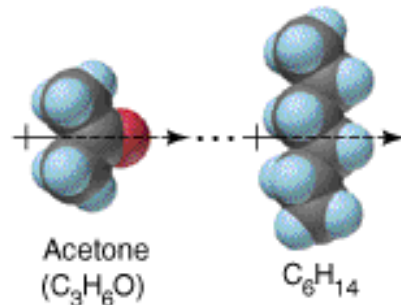
H bond



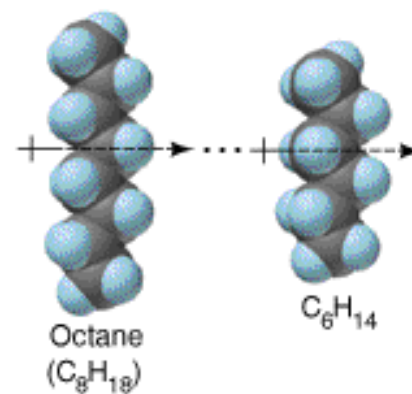
Dipole-dipole



Ion-induced dipole



Dipole-induced dipole



Dispersion

# Interakce ion - ion

Coulombův zákon

$$E = \frac{1}{4\pi\epsilon_0} \frac{q_1 q_2}{r}$$

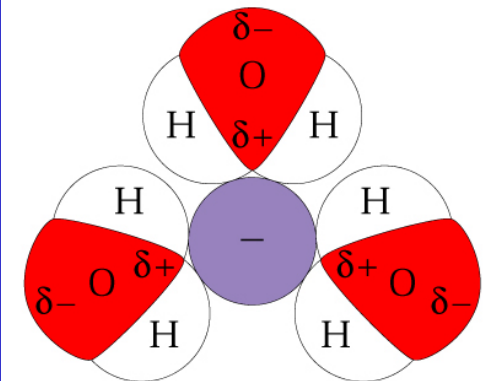
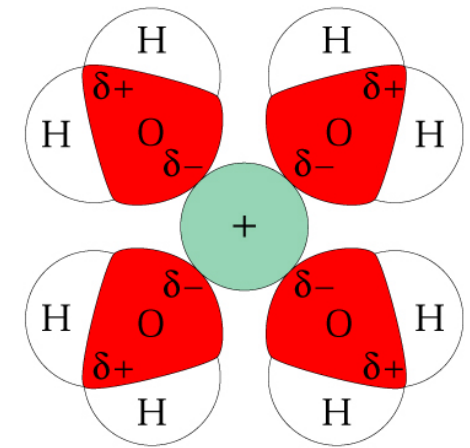
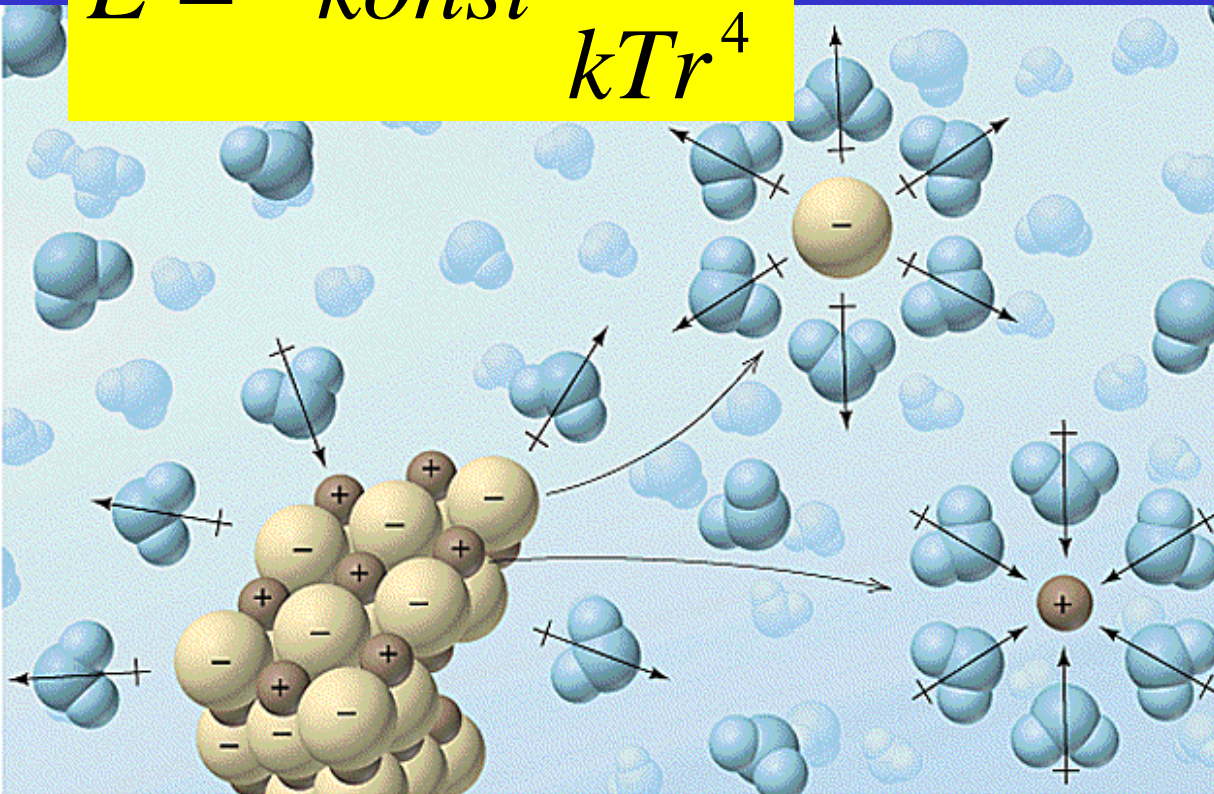
E = energie interakce  
q = náboj iontu  
r = meziiontová vzdálenost





## Interakce ion - dipol

$$E = -konst \frac{q^2 \mu^2}{kTr^4}$$



Copyright 1999 John Wiley and Sons, Inc. All rights reserved.

$E$  = energie interakce

$q$  = náboj iontu

$\mu$  = dipolový moment

$r$  = vzdálenost

$T$  = teplota

$k$  = Boltzmannova konstanta



## Dipolový moment - $\mu$

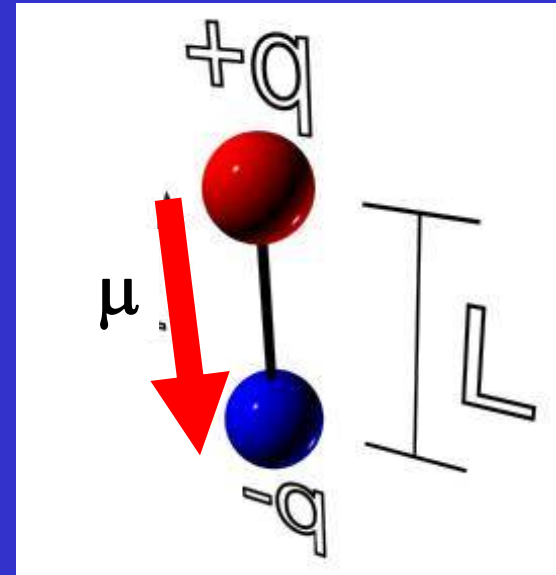
proton a elektron, vzdáleny 1 Å

$$\mu = q L = (1.60 \cdot 10^{-19} \text{ C})(1.00 \cdot 10^{-10} \text{ m})$$

$$= 1.60 \cdot 10^{-29} \text{ C m} = \mathbf{4.80 \text{ D}}$$

dipolový moment **4.80 D**

je referenční hodnota, čisté +1 a -1 náboje vzdálené 100 pm, vazba mezi nimi je 100% iontová



## Hydratace/solvatace iontů

Interakce klesá s rostoucí velikostí iontu



$\text{K}^+$  slabá

$\text{Rb}^+$  nulová

$\text{Cs}^+$  negativní



Interakce klesá

Interakce roste s rostoucím nábojem iontu



Ion-dipol



Polární koord. vazba



Interakce roste

## Solvatace elektronů

Sodík rozpuštěný v kapalném amoniaku



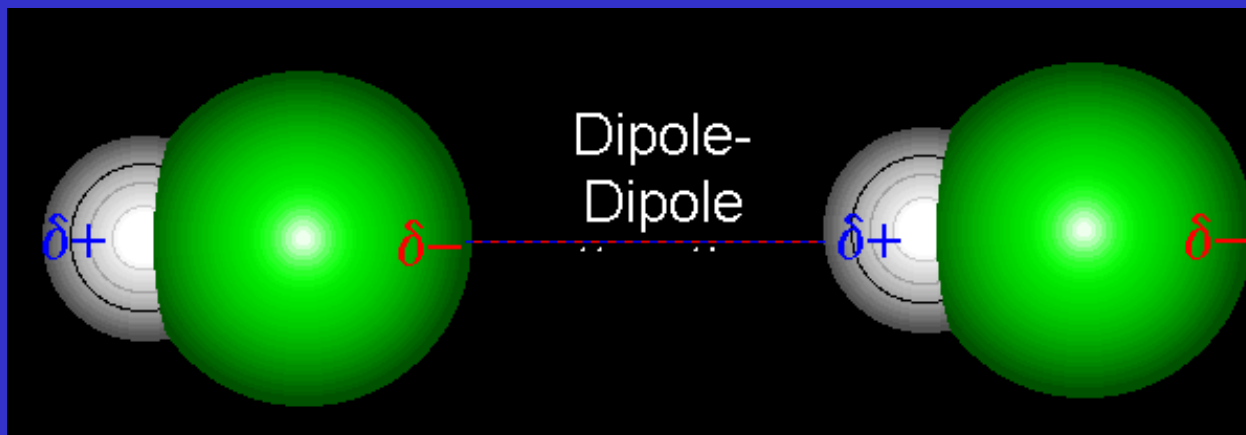
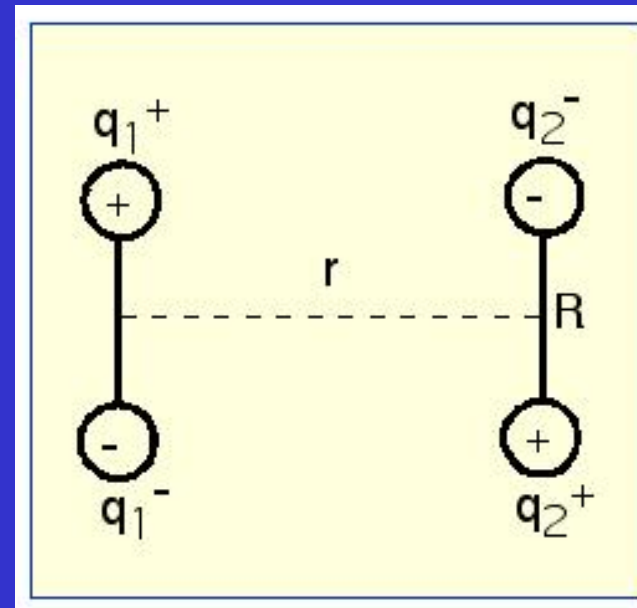
Modrý elektricky vodivý roztok

Silné redukční činidlo

# Interakce dipol - dipol

Keesom

$$E = -konst \frac{\mu_A^2 \times \mu_B^2}{kTr^6}$$



E = energie interakce  
 $\mu$  = dipolový moment  
 r = vzdálenost  
 T = teplota  
 k = Boltzmannova konstanta

## Interakce dipol - dipol

Sloučenina	Butan	Aceton
$M_r$	58	58
Teplota varu, °C	- 0.5	57
Dipolový moment, C m	0	$9.3 \cdot 10^{-30}$

# Interakce ion – indukovaný dipol a dipol – indukovaný dipol

$$\mu(\text{indukovaný}) = \alpha E$$

$\alpha$  = polarizovatelnost

$E$  = intenzita elektr. pole

ion – indukovaný dipol

$$E = -\textit{konst} \frac{q^2 \alpha}{r^4}$$

dipol – indukovaný dipol, Debye

$$E = -\textit{konst} \frac{\mu^2 \alpha}{r^6}$$

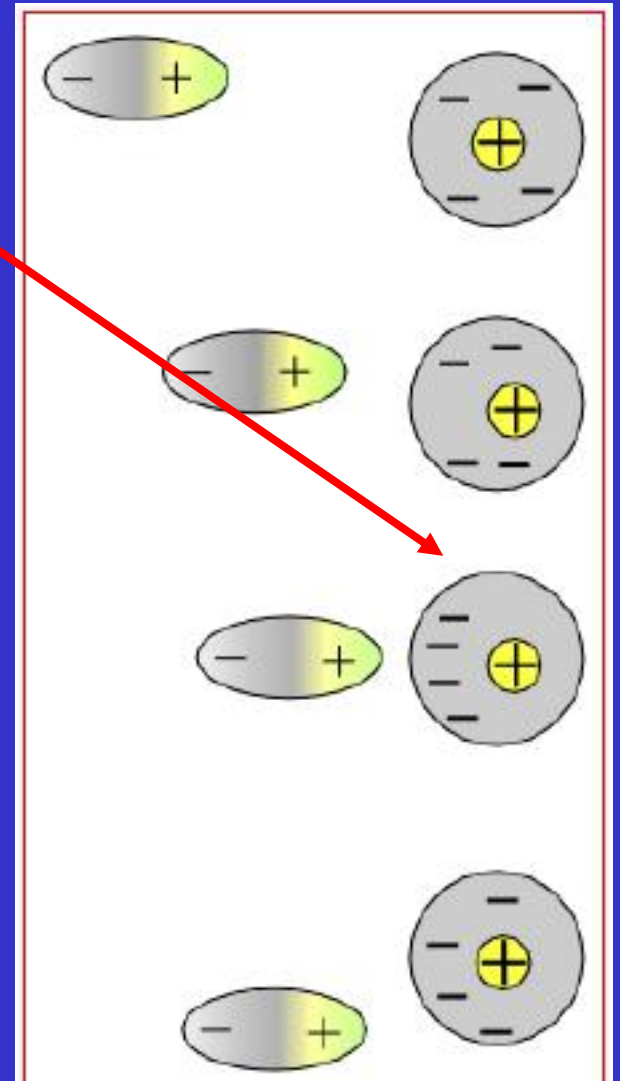
$E$  = energie interakce

$q$  = náboj

$\alpha$  = polarizovatelnost

$\mu$  = dipolový moment

$r$  = vzdálenost



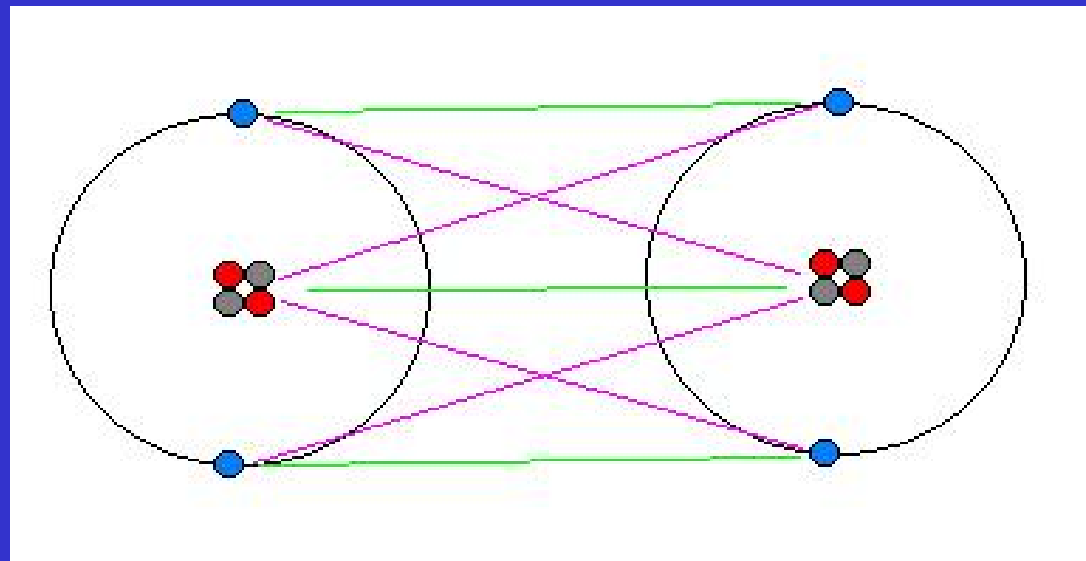
## Polarizovatelnost, $\alpha$ , m<sup>3</sup>

Skupina	Polarizovatelnost, cm <sup>3</sup> 10 <sup>24</sup>	v.d.W poloměr, Å	Atomový poloměr, Å
O	0.63	1.5	0.66
CH <sub>2</sub>	1.80	2.0	-
S	3.00	1.8	1.04



Molekula	Polarizovatelnost ( $\text{\AA}^3$ )	$T_{\text{varu}}$ (K)	Dipolový moment (D)
He	0.20	4.216	0
Ne	0.39	27.3	0
Ar	1.62	87.3	0
Kr	2.46	119.9	0
H <sub>2</sub> O	1.48	373.15	1.85
H <sub>2</sub> S	3.64	212.82	1.10
CCl <sub>4</sub>	10.5	349.85	0
C <sub>6</sub> H <sub>6</sub>	25.1	353.25	0
CH <sub>3</sub> OH	3.0	338	1.71
CH <sub>3</sub> F	3.84	195	1.81
CHCl <sub>3</sub>	8.50	334.85	1.01

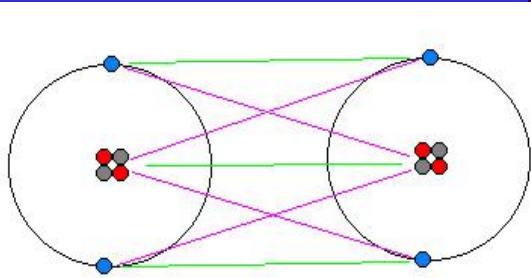
## Interakce indukovaný dipol – indukovaný dipol



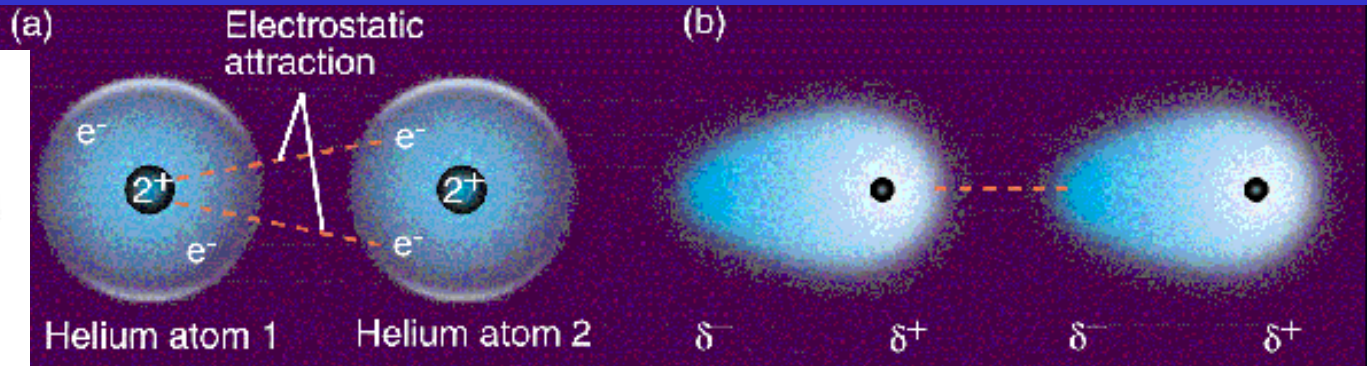
**Odpudivé síly**

**Přitažlivé síly**

# Londonovy disperzní síly



— Repulsive forces  
— Attractive forces



$$E = -konst \times \frac{IE \times \alpha^2}{r^6}$$

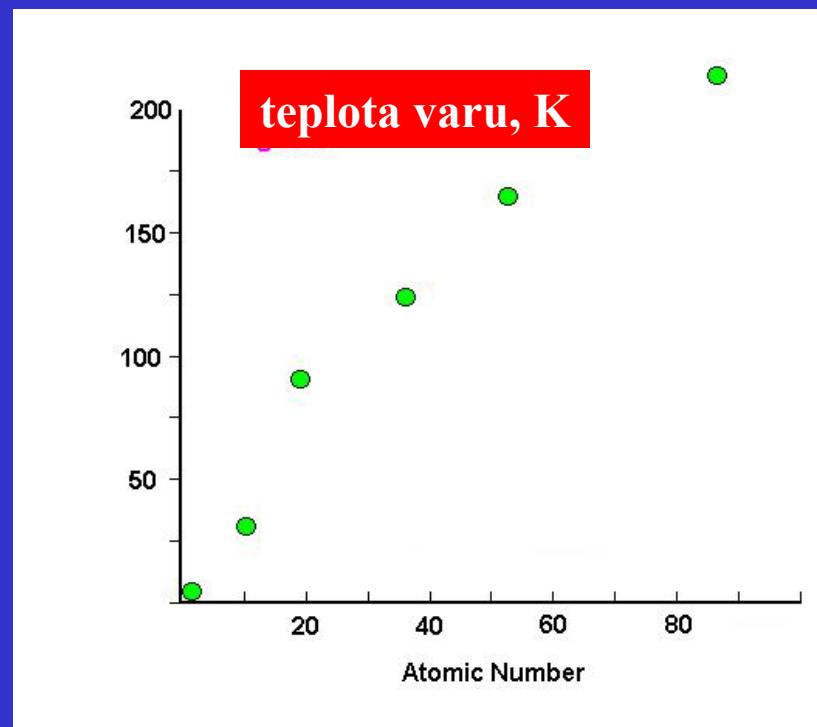
IE = ionizační energie  
 $\alpha$  = polarizovatelnost  
 r = vzdálenost



# Vliv polarizovatelnosti molekuly na velikost Londonových sil

Vliv Londonových sil na  
skupenství halogenů a  
vzácných plynů

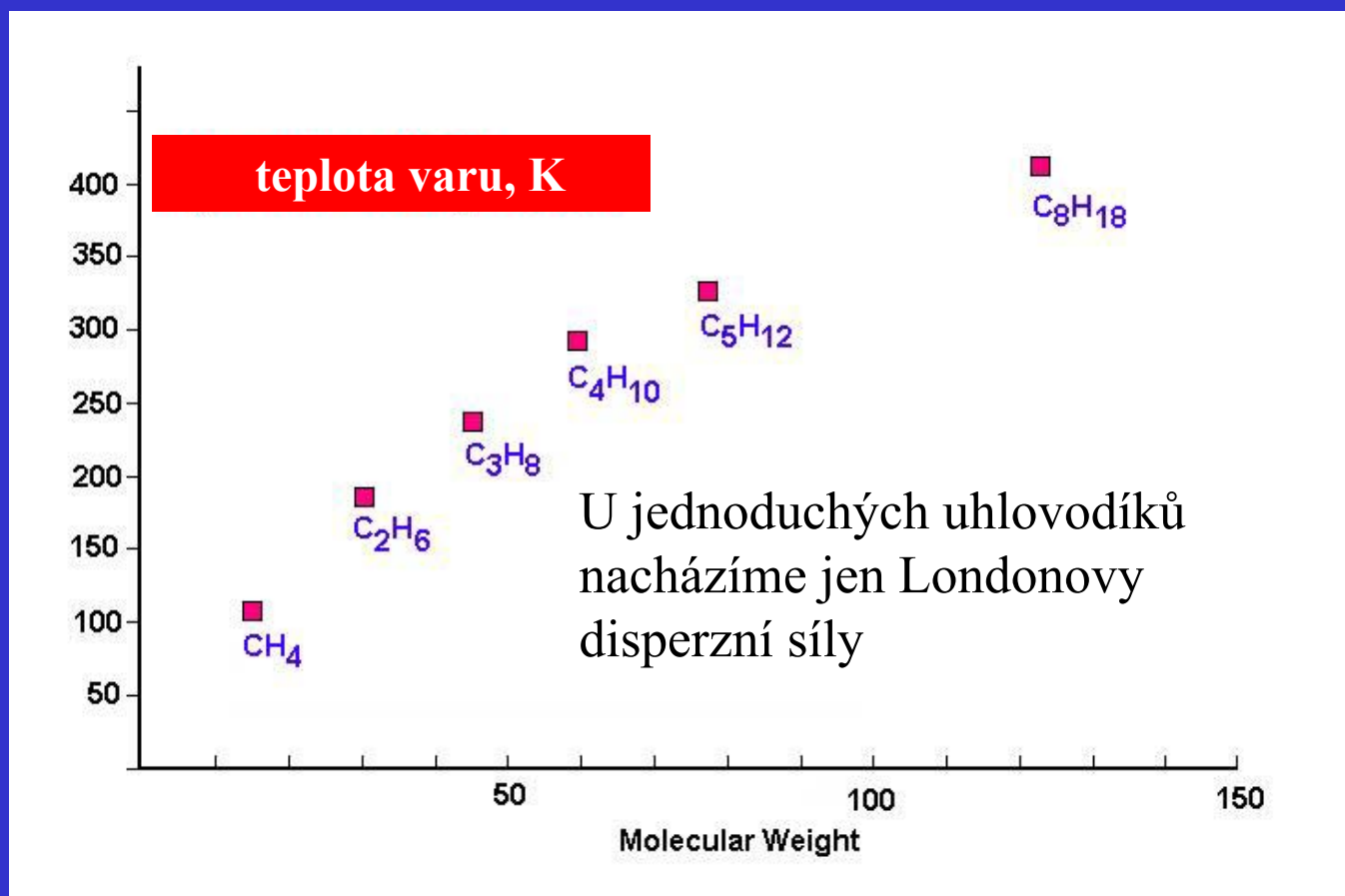
S velikostí molekul roste  
polarizovatelnost



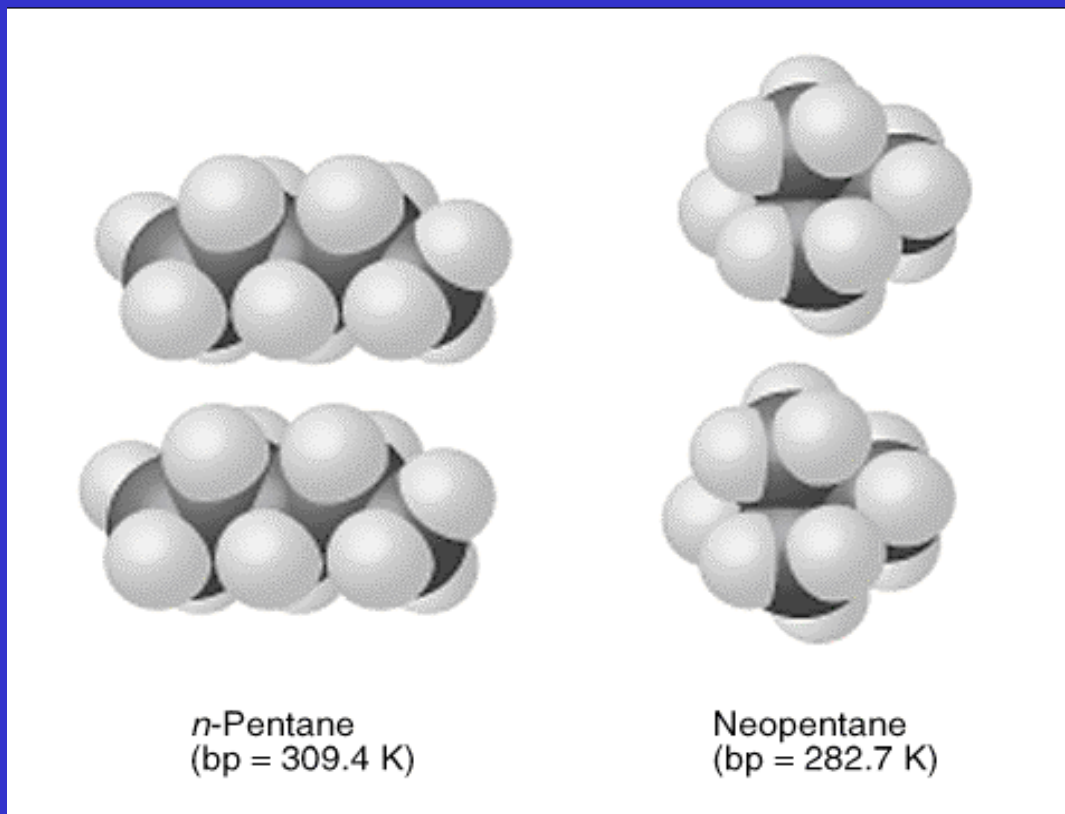
	teplota varu, K
$F_2$	85.1
$Cl_2$	238.6
$Br_2$	332.0
$I_2$	457.6

	teplota varu, K
He	4.6
Ne	27.3
Ar	87.5
Kr	120.9

## Vliv velikosti molekuly na velikost Londonových sil



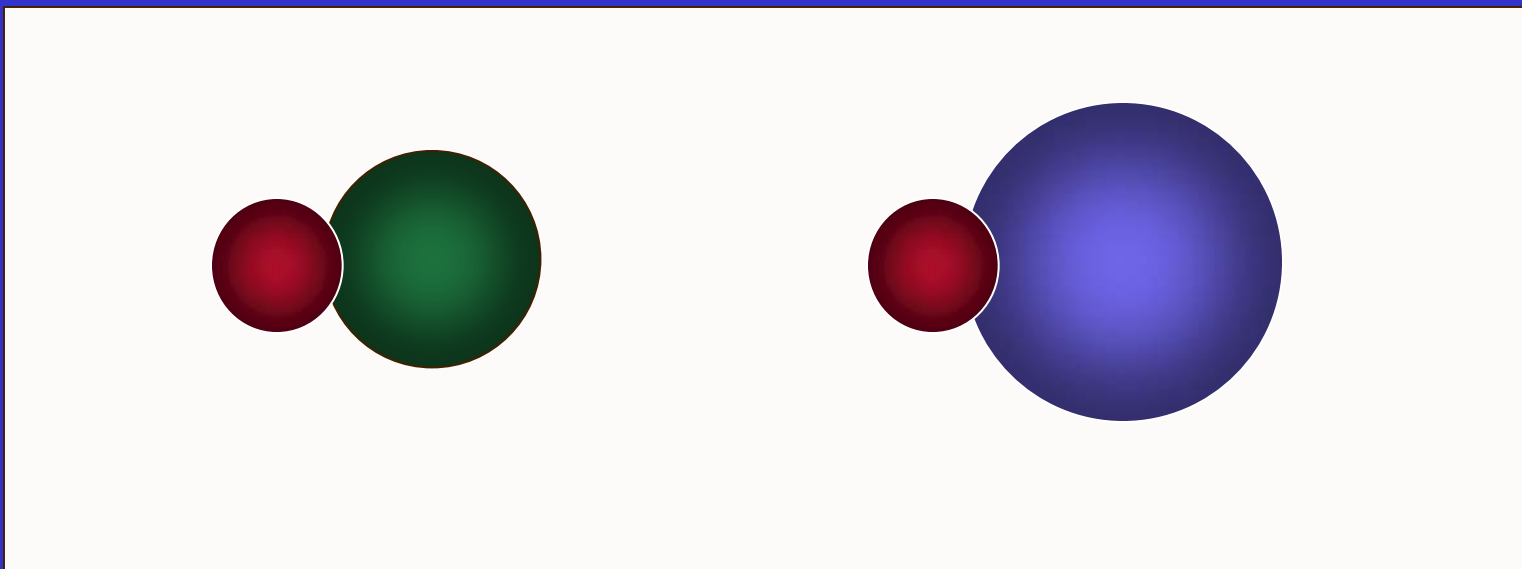
## Vliv tvaru molekuly na velikost Londonových sil



Stejná  $M_r$

Větší plocha dotyku

# Londonovy disperzní síly a dipol-dipolové interakce



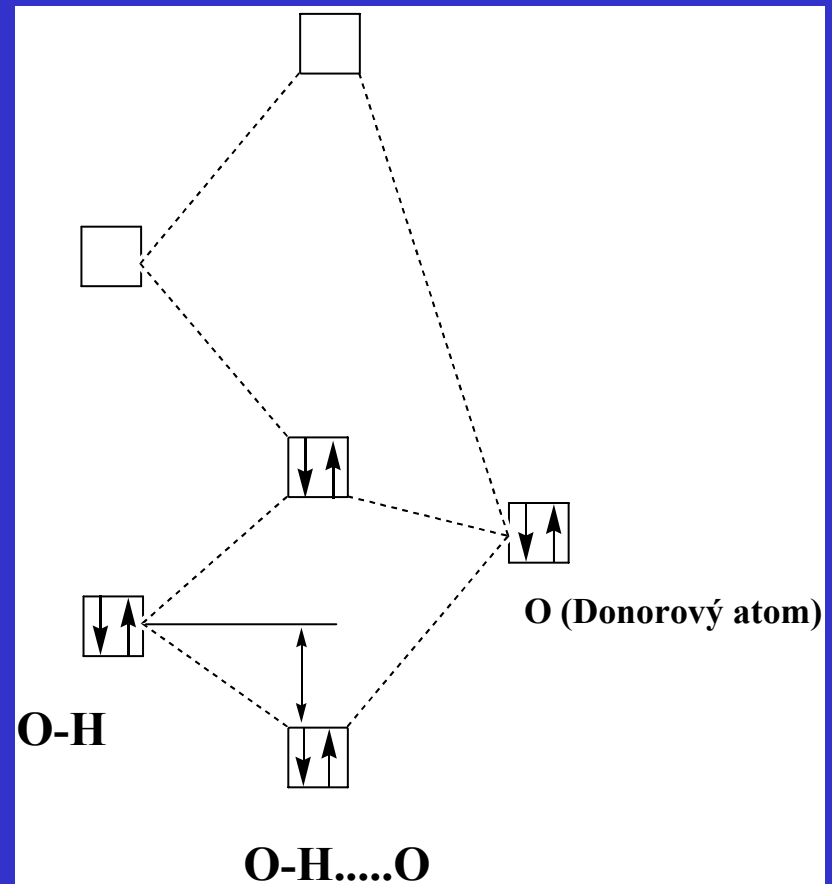
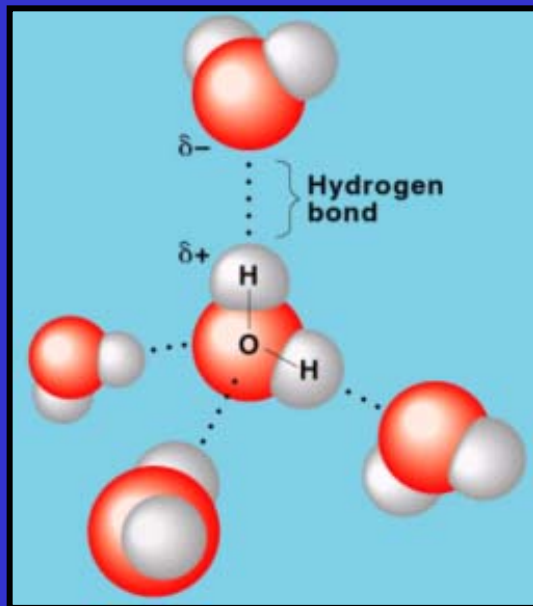
HCl:  $b_v = 189.5 \text{ K}$   
Dipolový moment = 1.03 D

HBr:  $b_v = 206.2 \text{ K}$   
Dipolový moment = 0.79 D



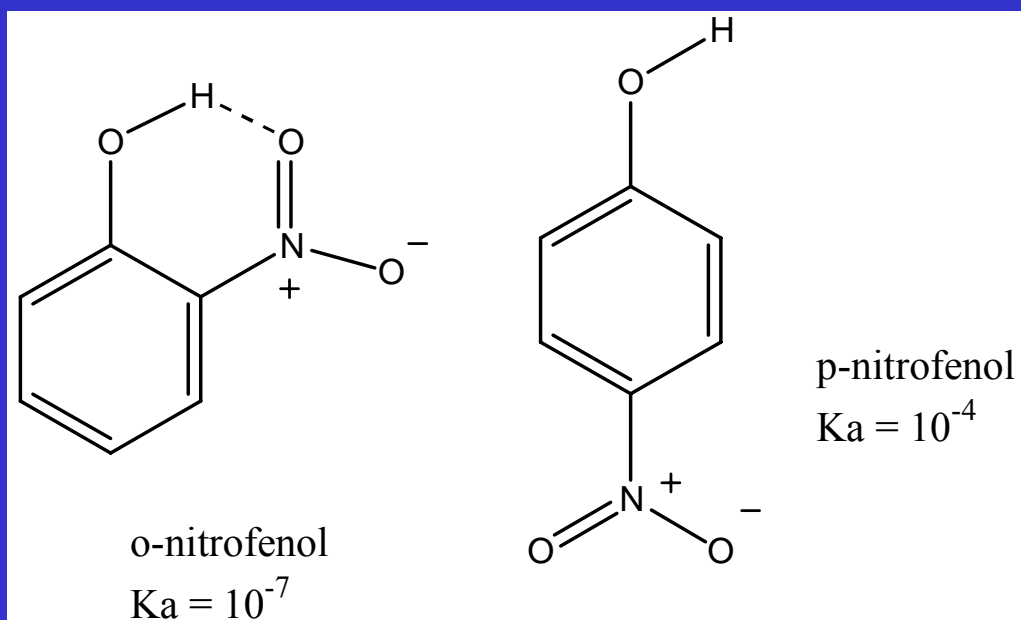
# Vodíková vazba

H s elektronegativními atomy (F, O, N, C,...)



# Vodíková vazba

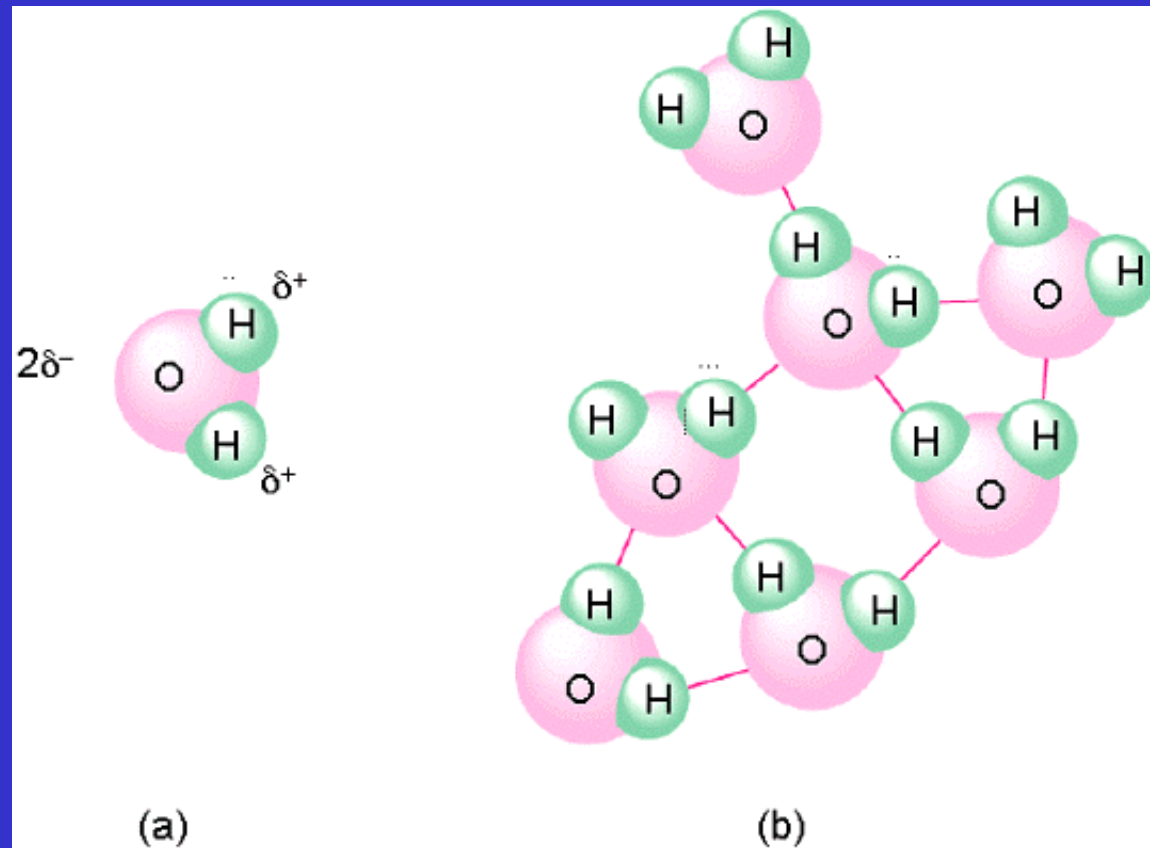
## Intramolekulární vodíková vazba



Snížená kyselost OH skupiny  
v důsledku tvorby vodíkové vazby

# Vodíková vazba

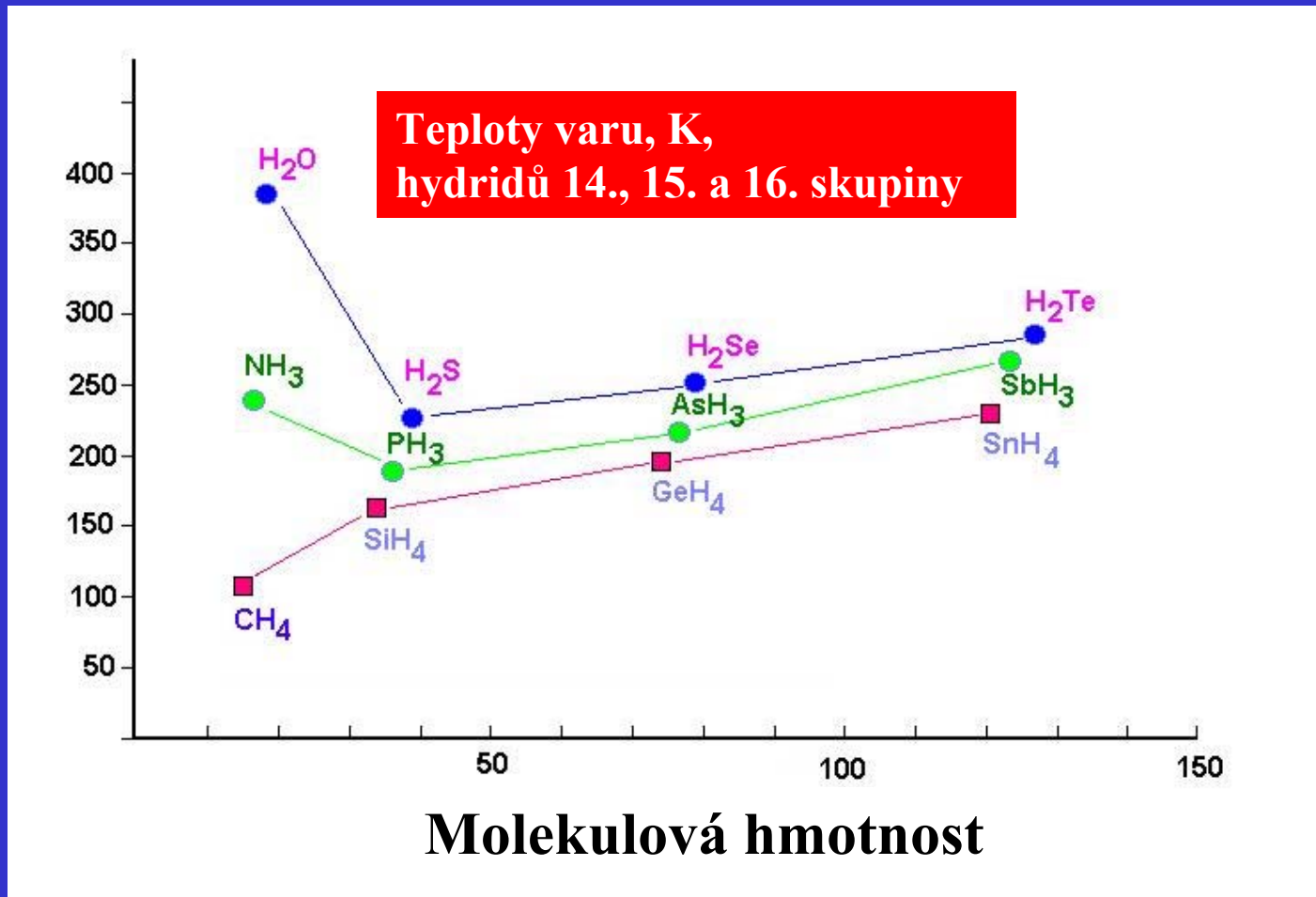
Intermolekulární



## Vodíková vazba

Vazba	Vzdálenost (Å)	Rozmezí (Å)
N-H...N	3.10	2.88-3.38
N-H...O		
- Amid NH	2.93	2.55-3.04
- Amino NH	3.04	2.57-3.22
N-H...F	2.78	2.62-3.01
N-H...Cl	3.21	2.91-3.52
O-H...N	2.80	2.62-2.93
O-H...O		
- Alkohol OH	2.74	2.55-2.96
- Voda OH	2.80	2.65-2.93
O-H...Cl	3.07	2.86-3.21

# Vodíková vazba



# $\text{HF}_2^-$ hydrogendifluorid

Nejsilnější známá H-vazba

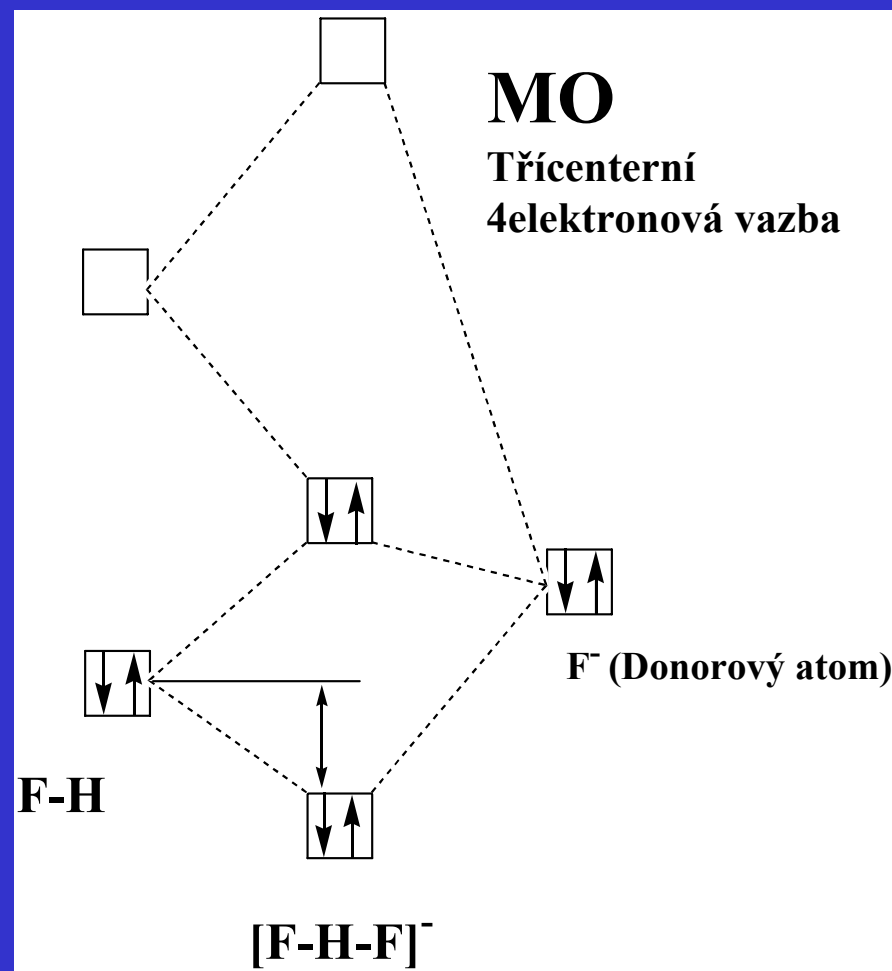
$155 \text{ kJ mol}^{-1}$

Symetrické rozložení  
vazebných délek H-F 114 pm

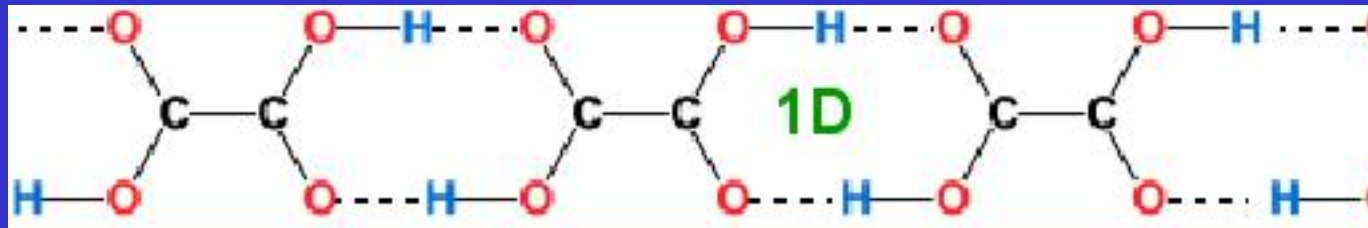
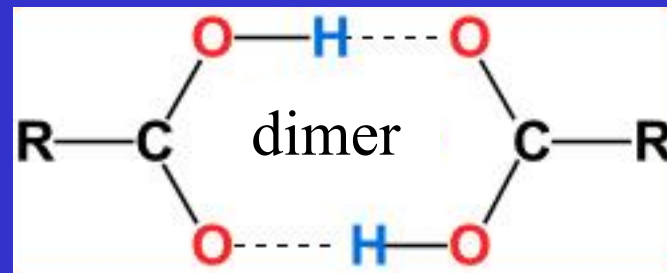
Vazebný úhel

$\text{F-H-F} = 180^\circ$

Autodisociace HF



# Vodíková vazba



Krystalové inženýrství  
Samouspořádání



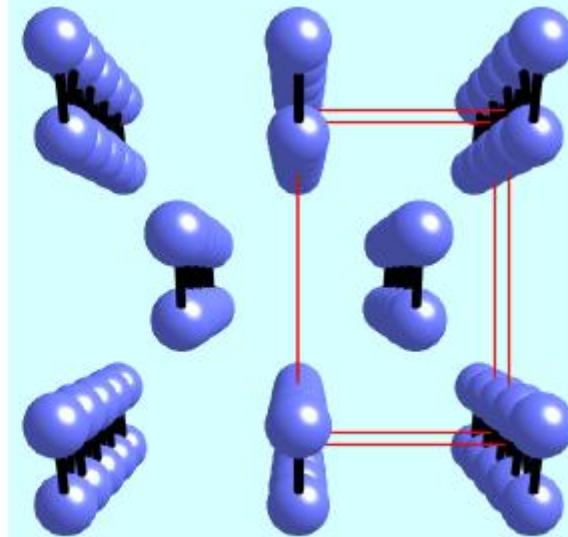
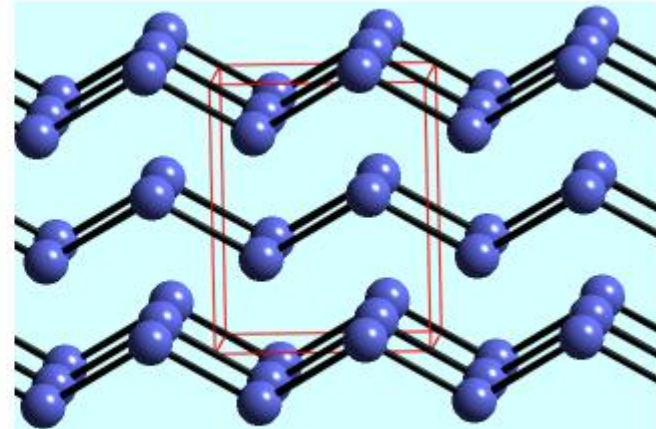
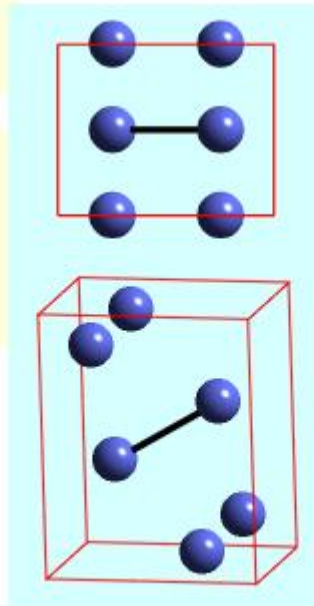
# Struktura HF

## 1D. HF

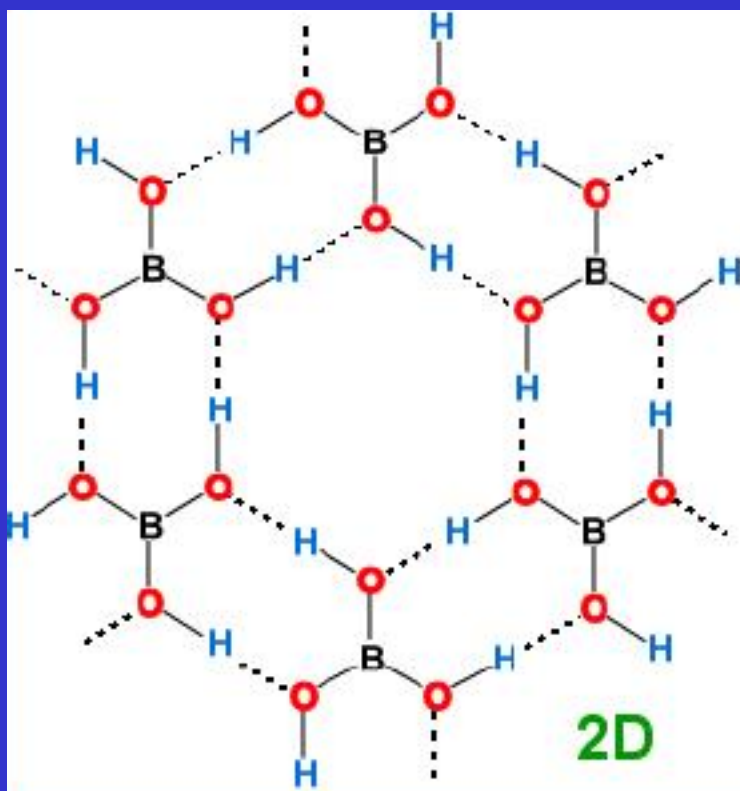
Ortorrómbico: B mmb

a (Å)	3.42
b (Å)	4.32
c (Å)	5.41
V (Å <sup>3</sup> )	79.9
Z	4
Dx (gcm <sup>-3</sup> )	1.66

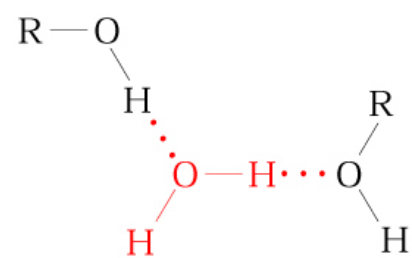
F-H (Å)	-
F...F (Å)	2.49
H...F (Å)	-
F-H...F (°)	180°



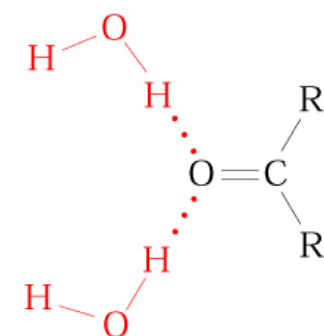
# Kyselina boritá



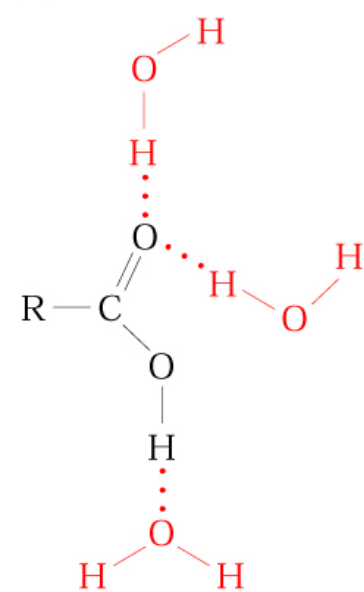
(a)



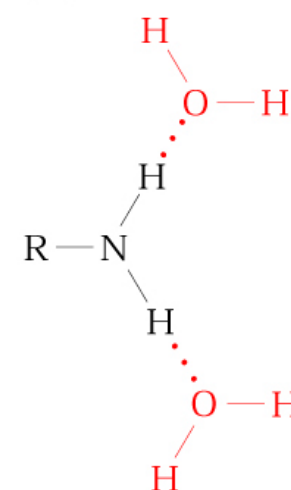
(b)



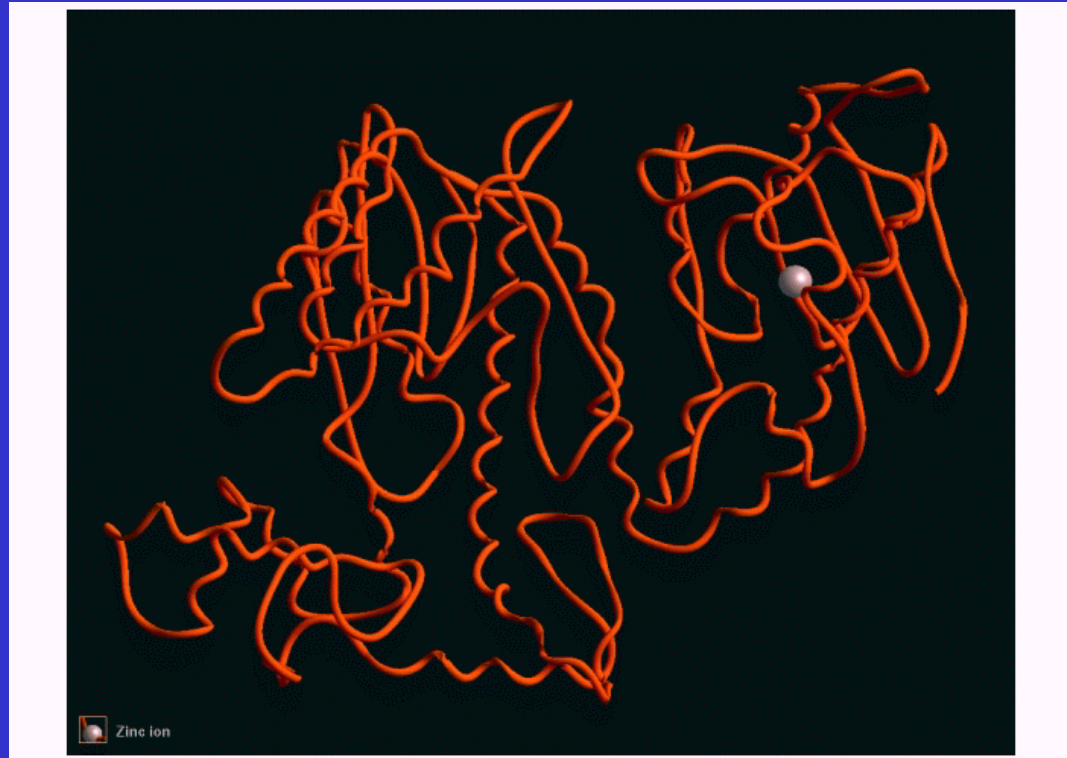
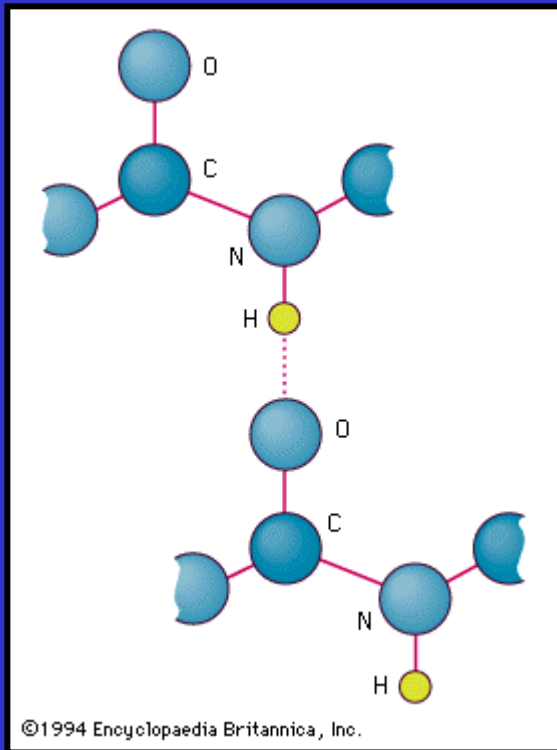
(c)



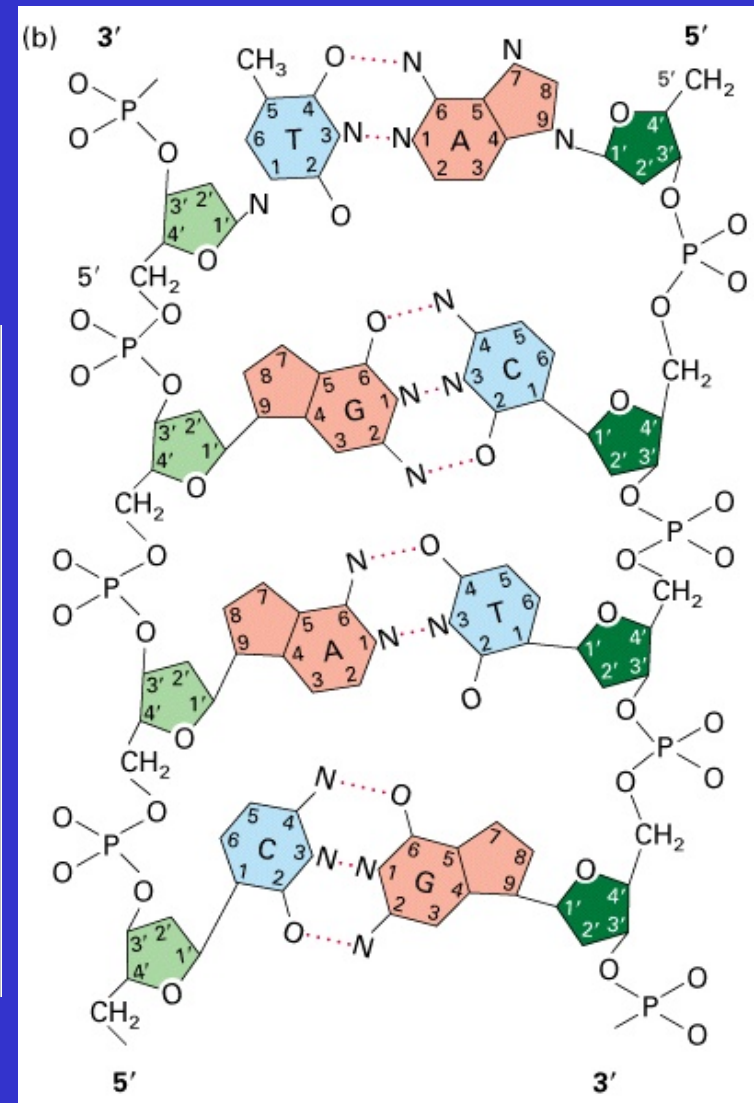
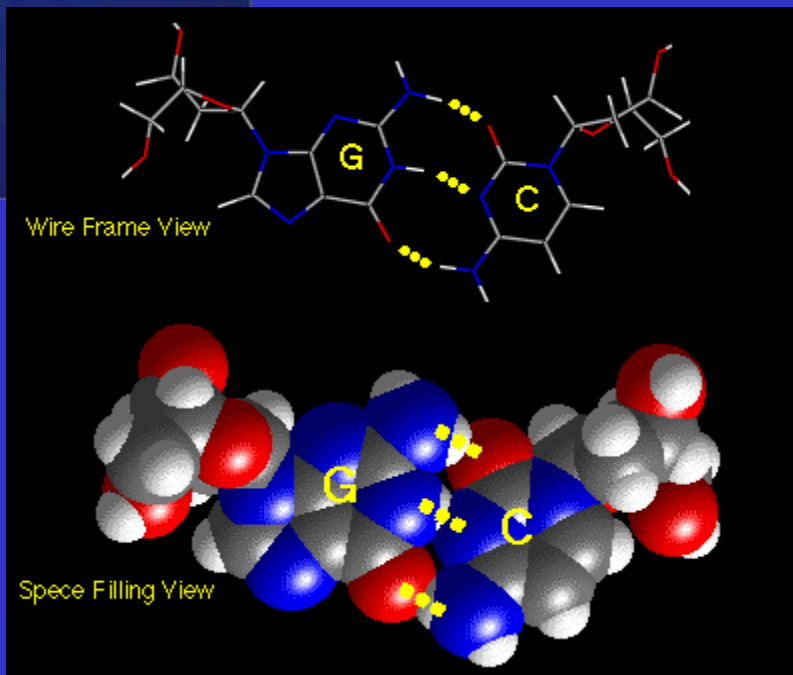
(d)



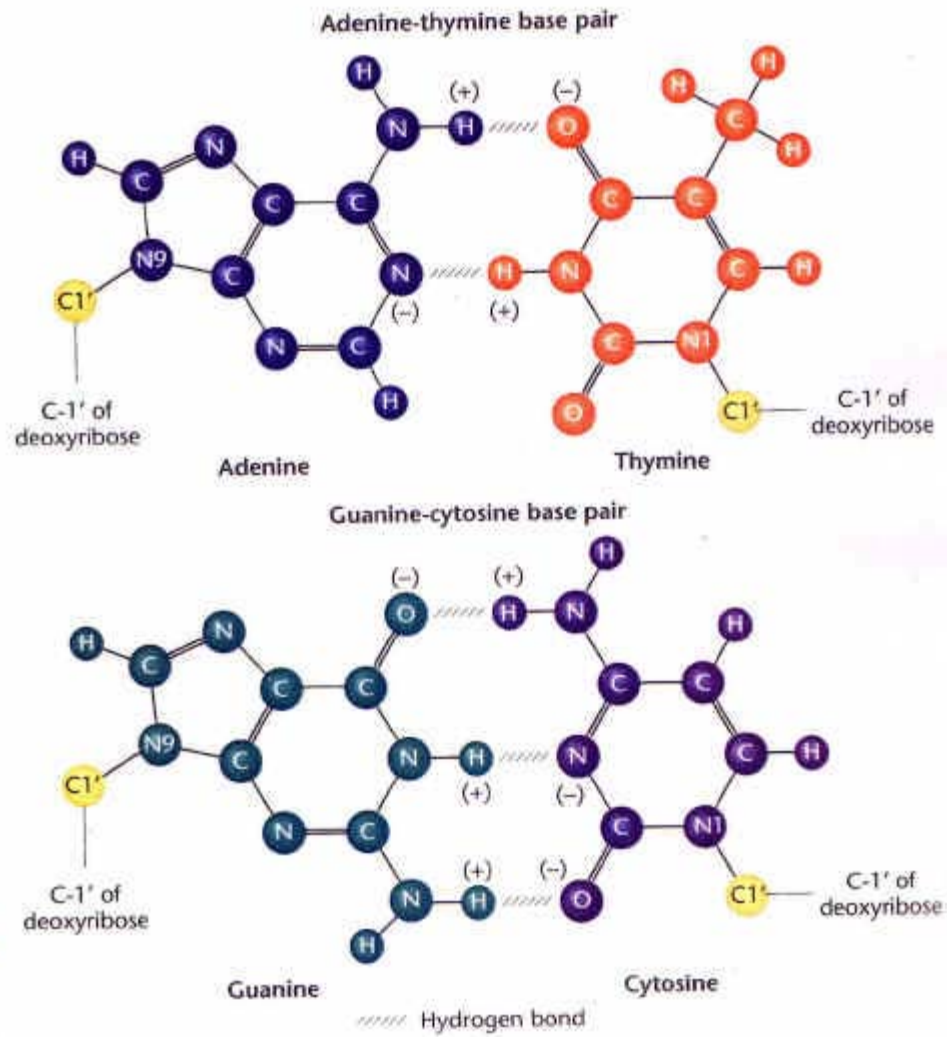
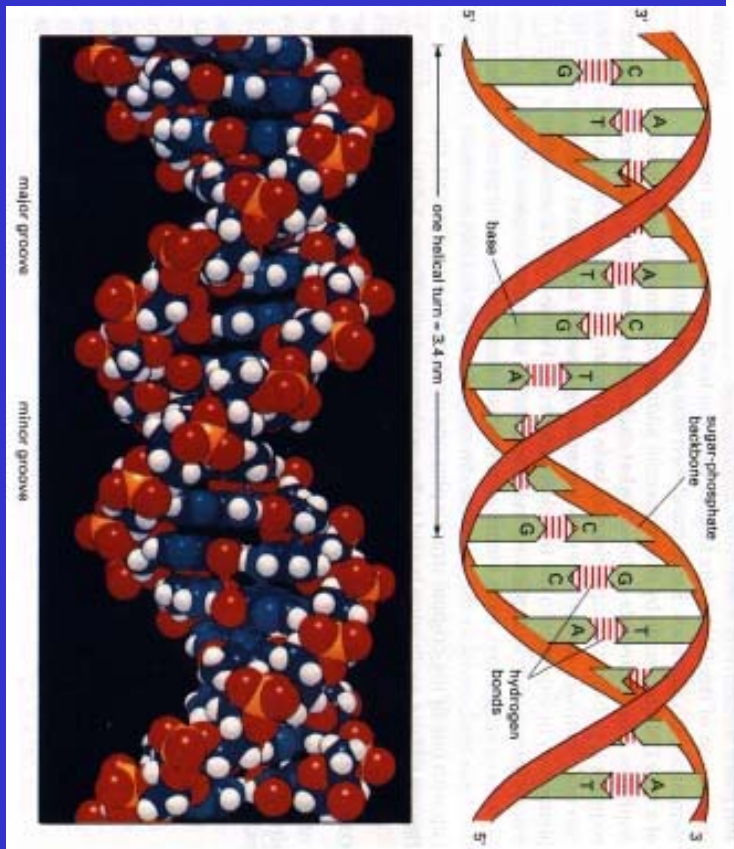
# Struktura proteinů



# Struktura DNA







# Struktura ledu

## 3D. H<sub>2</sub>O

Hexagonal: P6<sub>3</sub>/mmc

a (Å) 4.5227

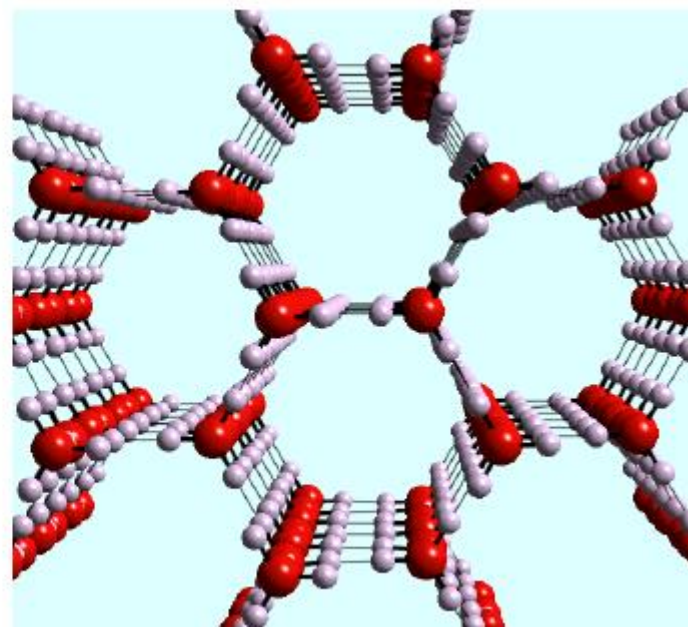
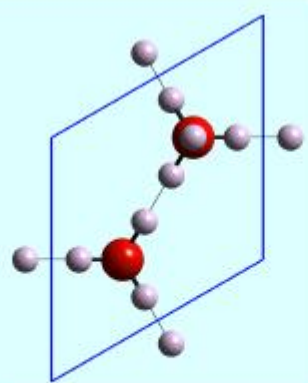
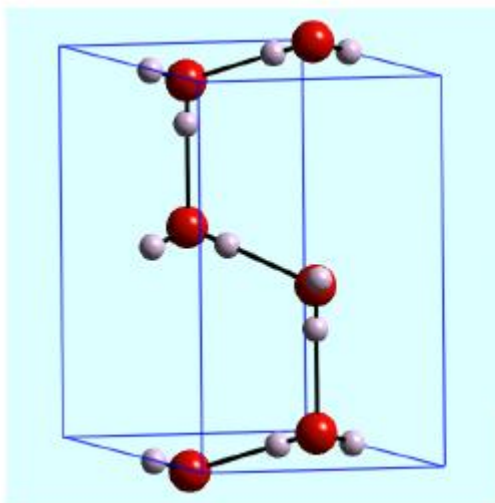
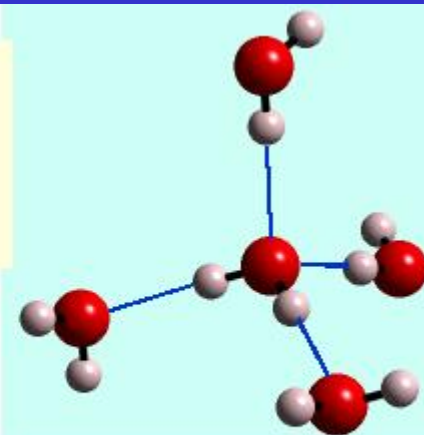
c (Å) 7.3671

V (Å<sup>3</sup>) 121.9

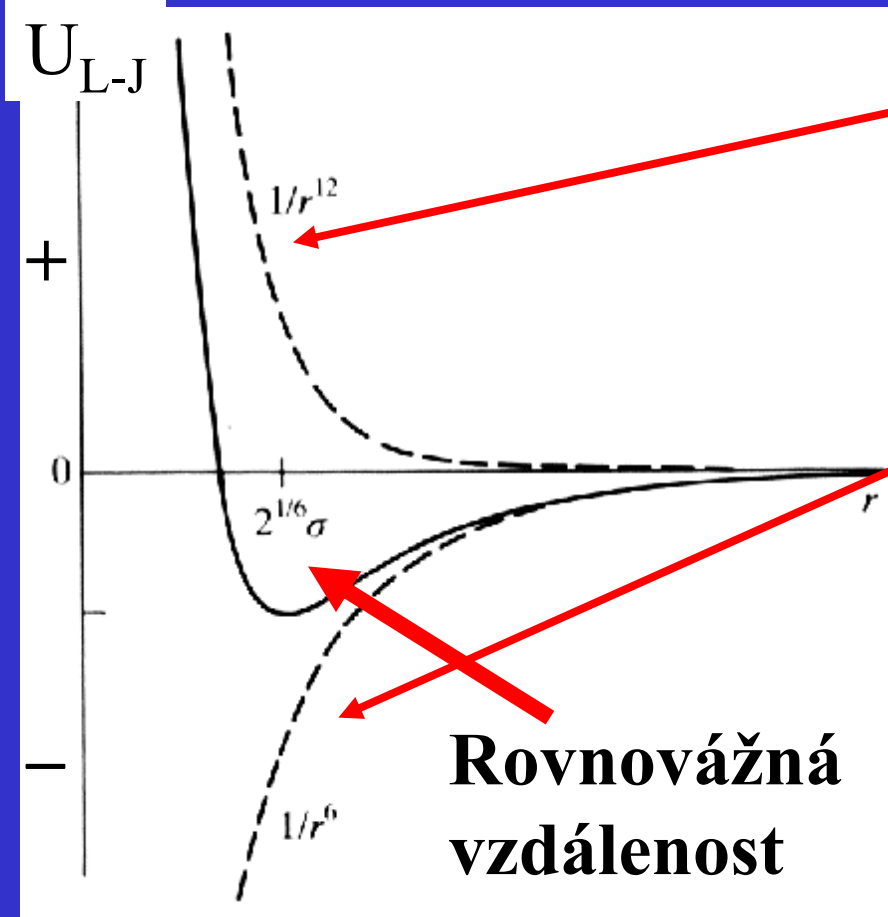
Z 3

Dx (gcm<sup>-3</sup>) 0.74

O-H (Å)	0.82, 0.86
O...O (Å)	2.765, 2.773
H...O (Å)	1.91, 1.95
O-H...O (°)	180°



## Rovnováha přitažlivých a odpudivých sil



Odpudivé síly (Pauli)

Repulze elektronových oblaků

$$U = 1/r^{12}$$

Přitažlivé síly (v.d. Waals)

$$U = -1/r^6$$

### Lennard-Jonesův potenciál

$$U_{L-J} = A \frac{1}{r^{12}} - B \frac{1}{r^6}$$

A, B = konstanty závislé na elektrických vlastnostech molekul

# Lennard-Jonesův potenciál

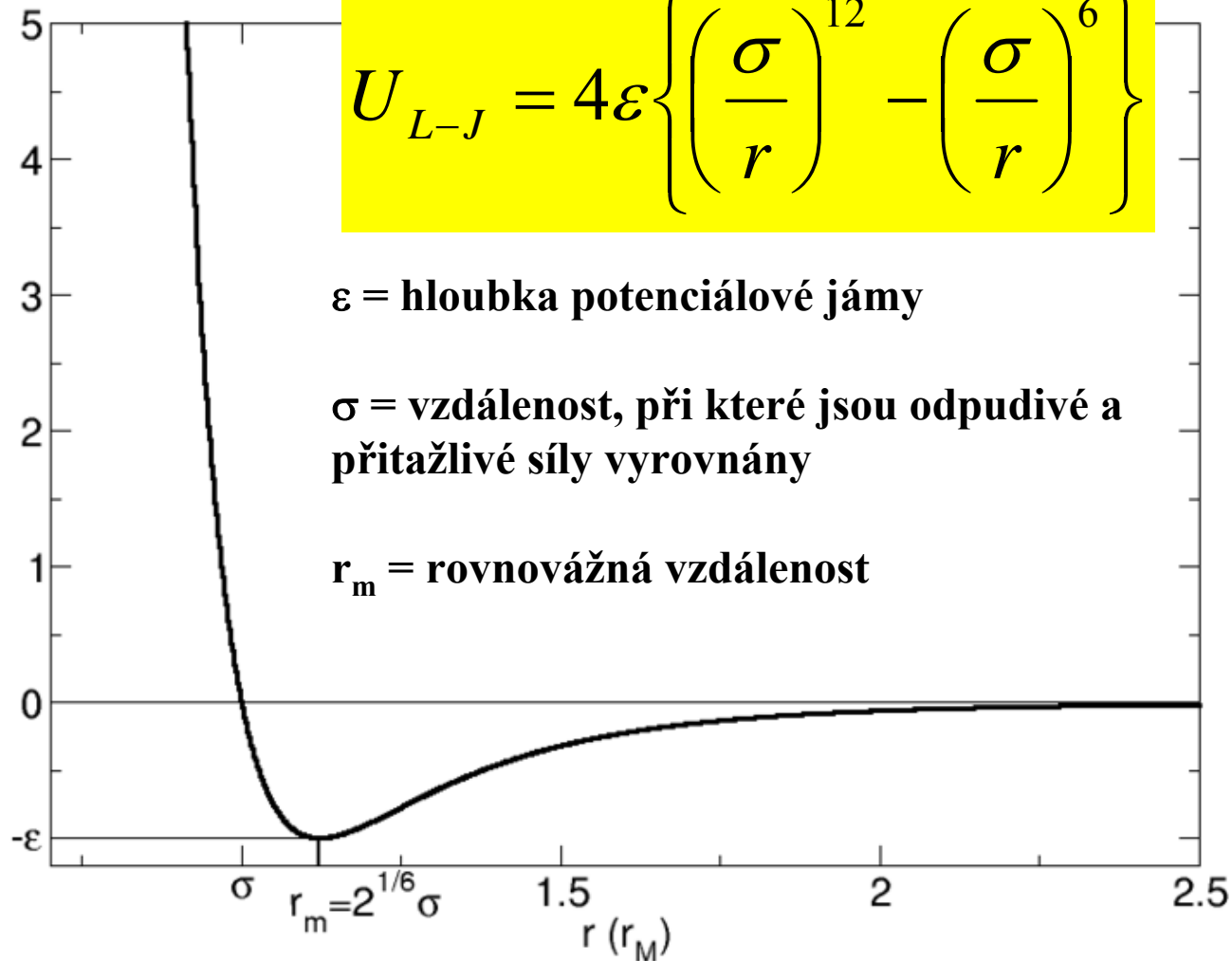
$$U_{L-J} = 4\varepsilon \left\{ \left( \frac{\sigma}{r} \right)^{12} - \left( \frac{\sigma}{r} \right)^6 \right\}$$

$\varepsilon$  = hloubka potenciálové jámy

$\sigma$  = vzdálenost, při které jsou odpudivé a přitažlivé síly vyrovnány

$r_m$  = rovnovážná vzdálenost

$U_{L-J}$





## Van der Waalsovy poloměry, Å

Atomový poloměr O 0.73 Å

Iontový poloměr O<sup>2-</sup> 1.40 Å

Ag 1.72	Ar 1.88	As 1.85	Au 1.66
Br 1.85	C 1.70	Cd 1.58	Cl 1.75
Cu 1.40	F 1.47	Ga 1.87	H 1.20
He 1.40	Hg 1.55	I 1.98	In 1.93
K 2.75	Kr 2.02	Li 1.82	Mg 1.73
N 1.55	Na 2.27	Ne 1.54	Ni 1.63
<b>O 1.52</b>	P 1.80	Pb 2.02	Pd 1.63
Pt 1.72	S 1.80	Se 1.90	Si 2.10
Sn 2.17	Te 2.06	Tl 1.96	U 1.86
Xe 2.16	Zn 1.39		

Skupina	vdW
<b>C atom</b>	
-alifat	1.7 Å
- arom	1.7 Å
<b>O atom</b>	
-karbonyl	1.4 Å
- alkohol	1.5 Å
<b>N atom</b>	
-amid	1.52 Å
- amin	1.65 Å
- ammonium	1.50 Å
<b>F atom</b>	1.35 Å
<b>Cl atom</b>	1.80 Å
<b>Br atom</b>	1.95 Å
<b>I atom</b>	2.15 Å
<b>S atom</b>	1.85 Å

# Pevné látky

## Amorfní

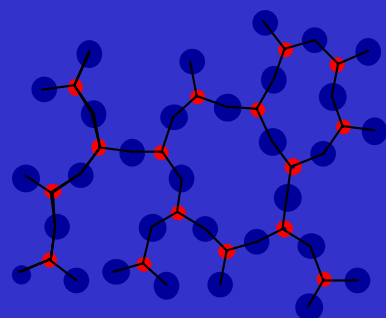
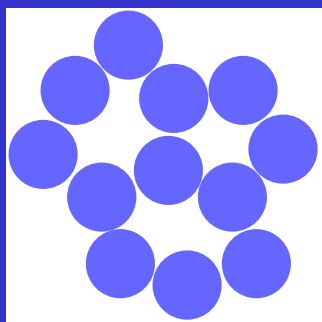
- nepravidelné vnitřní uspořádání
- *izotropie* fyzikálních vlastností
- termodynamicky nestabilní

## Krystalické

- pravidelné vnitřní uspořádání
- *anizotropie* fyzikálních vlastností = různé v různých směrech (pro symetrii nižší než kubickou)

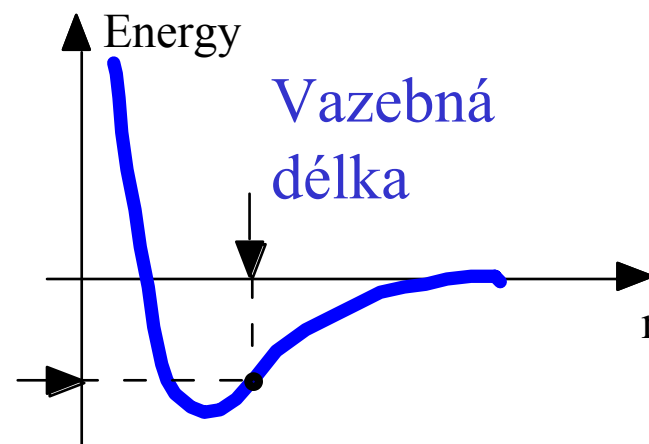
# Pevné látky

## Amorfní

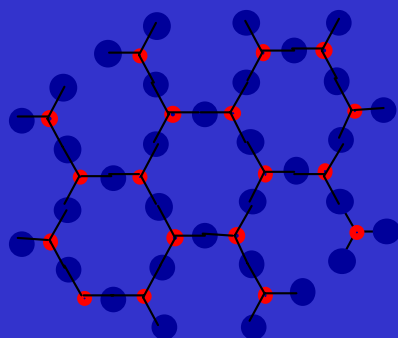
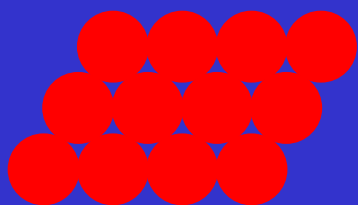


Metastabilní

Vazebná energie

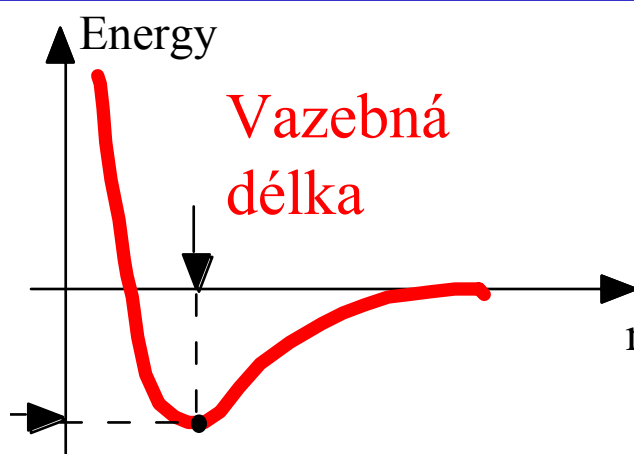


## Krystalické



Stabilní

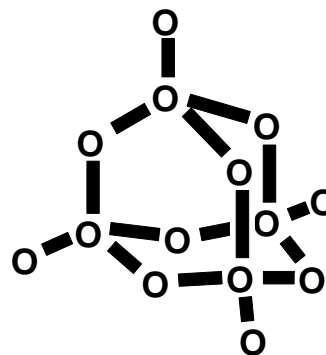
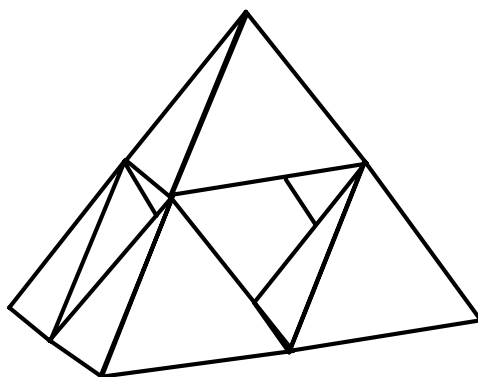
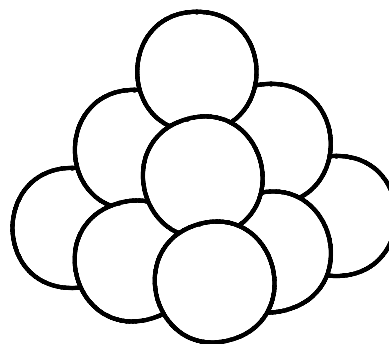
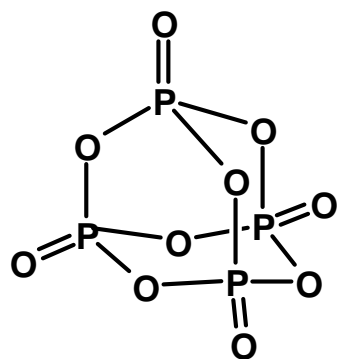
Vazebná energie



## Krystalické látky

- kovové (Cu, Fe, Au, Ba, slitiny CuAu)  
atomy kovu, kovová vazba
- iontové (NaCl, CsCl, CaF<sub>2</sub>, ... )  
kationty a anionty, elektrostatická interakce
- kovalentní (C-diamant, grafit, SiO<sub>2</sub>, AlN,... )  
atomy, kovalentní vazba
- molekulární (Ar, C<sub>60</sub>, HF, H<sub>2</sub>O, CO<sub>2</sub>, organické sloučeniny, proteiny )  
molekuly, van der Waalsovy a vodíkové interakce

# Modely struktur



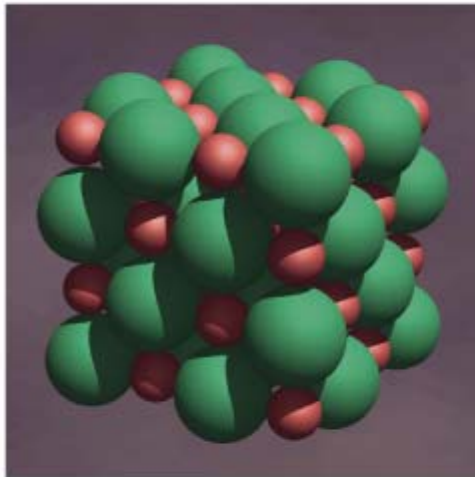
Koordinální  
polyedry

Atomy  
vyplňující  
prostor

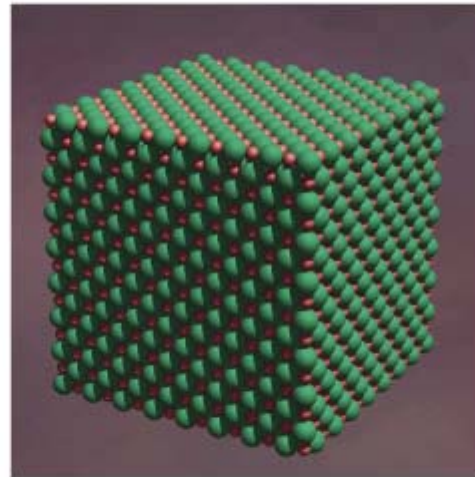
Atomy a vazby

# Krystalické látky

pravidelné vnitřní uspořádání



(a)



(b)

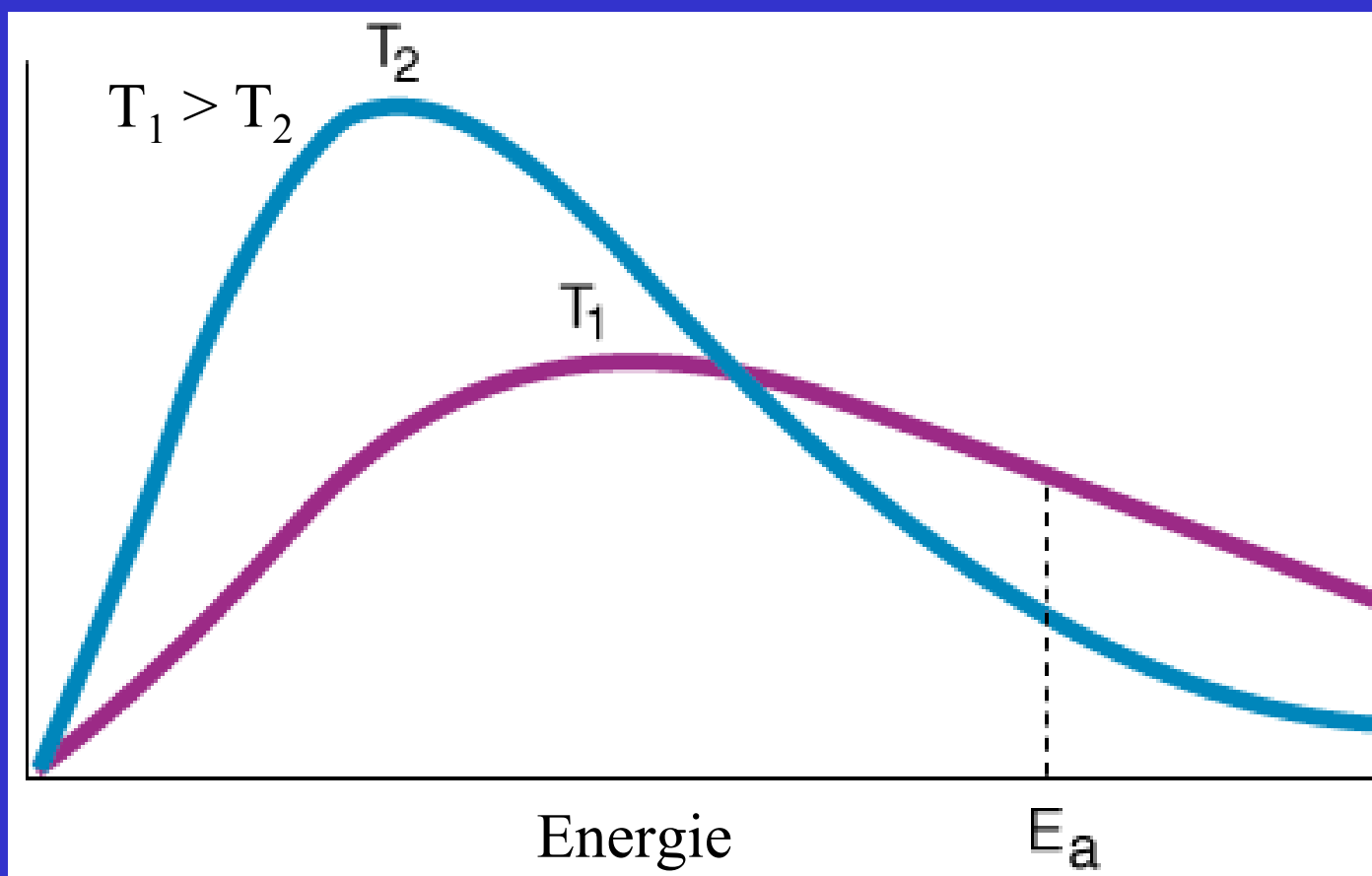


(c)

## Přechod do pevného skupenství

Boltzmanovo rozdělení – při ochlazování klesá kinetická energie

Počet  
molekul

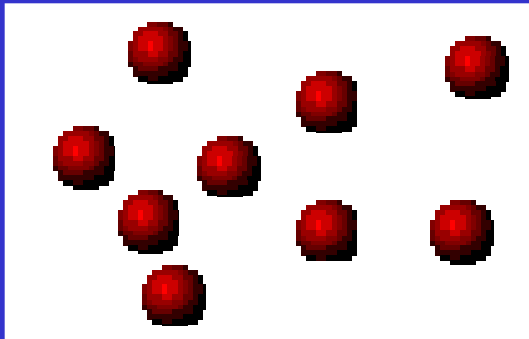




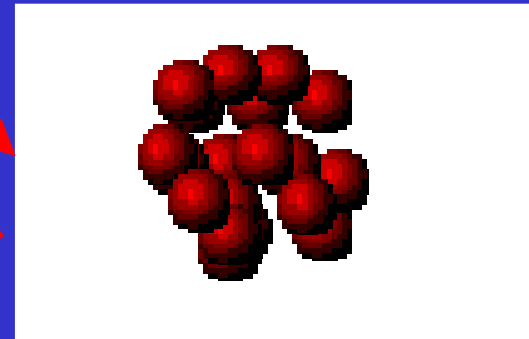
# Vznik nukleačních center

Ochlazování - klesá kinetická energie

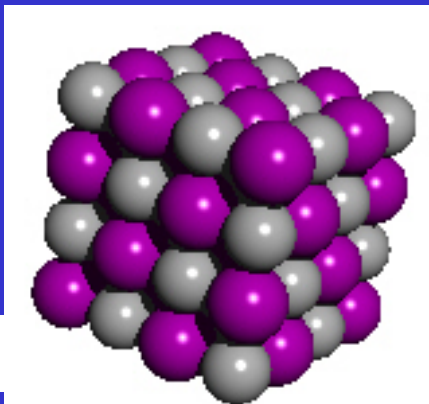
Ochlazení – nukleace = náhodné vytvoření krystalizačního jádérka



**Roztok nebo tavenina**



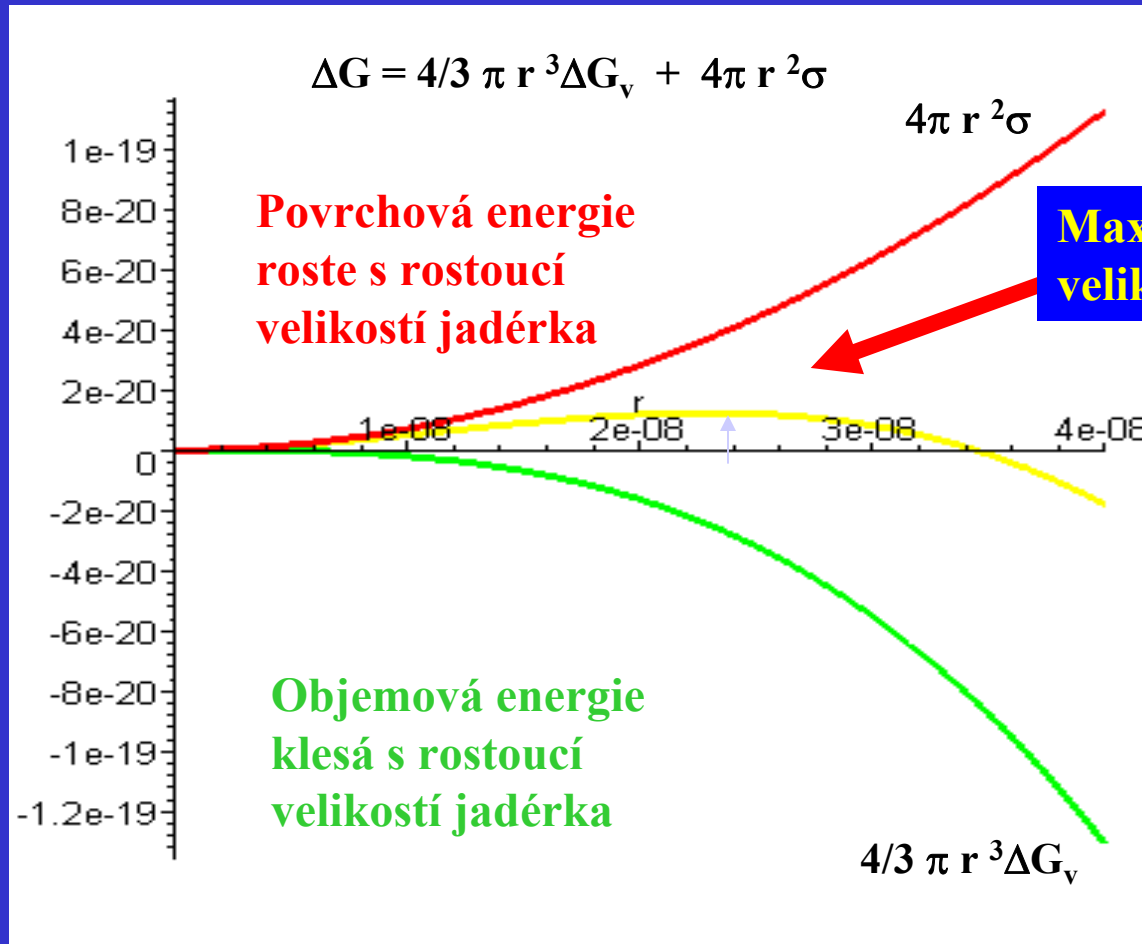
**Krystalizační jádérko**



**Krystal**

# Nukleace

$\Delta G_{\text{Nukleace}}$



# Příprava monokrystalů

**Vysokoteplotní metody**  
**Czochralski**

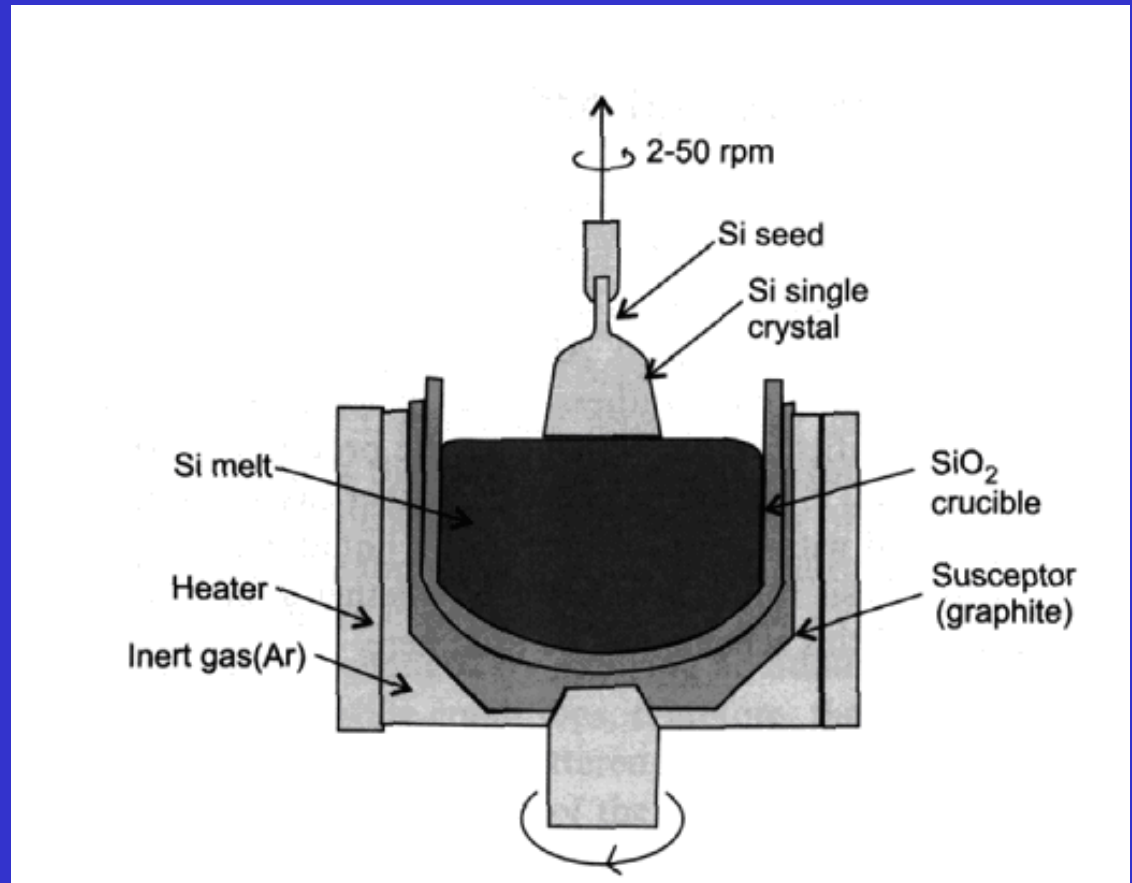
**Střední teploty**  
**Hydrotermální metoda**  
**Sublimace**

**Nízkoteplotní metody**  
**Krystalizace z roztoku**

# Příprava monokrystalů



**Jan Czochralski  
(1885–1953)**



## Příprava monokrystalů Si

$D = 300 \text{ mm}$

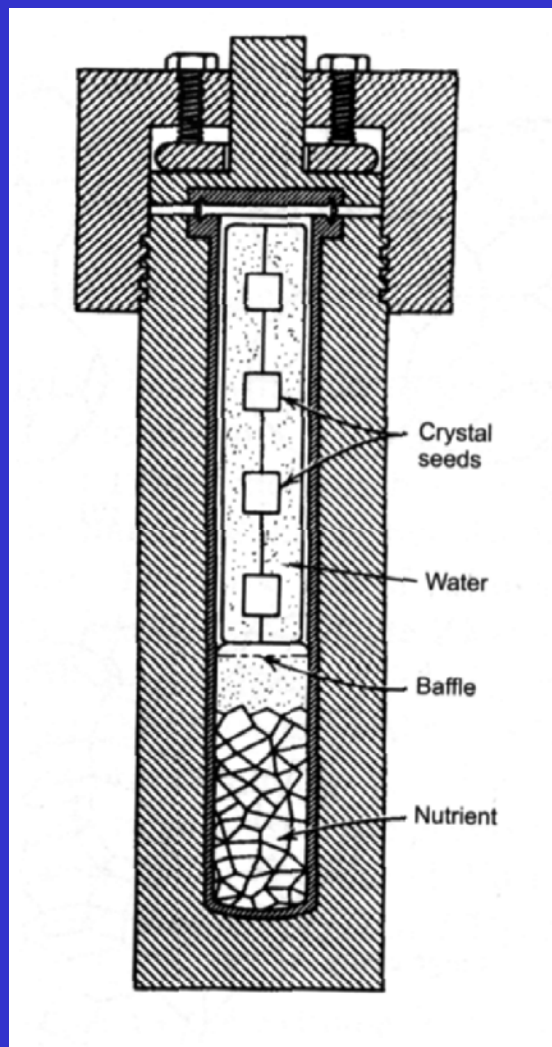
$l = 2 \text{ m}$

$m = 265 \text{ kg}$

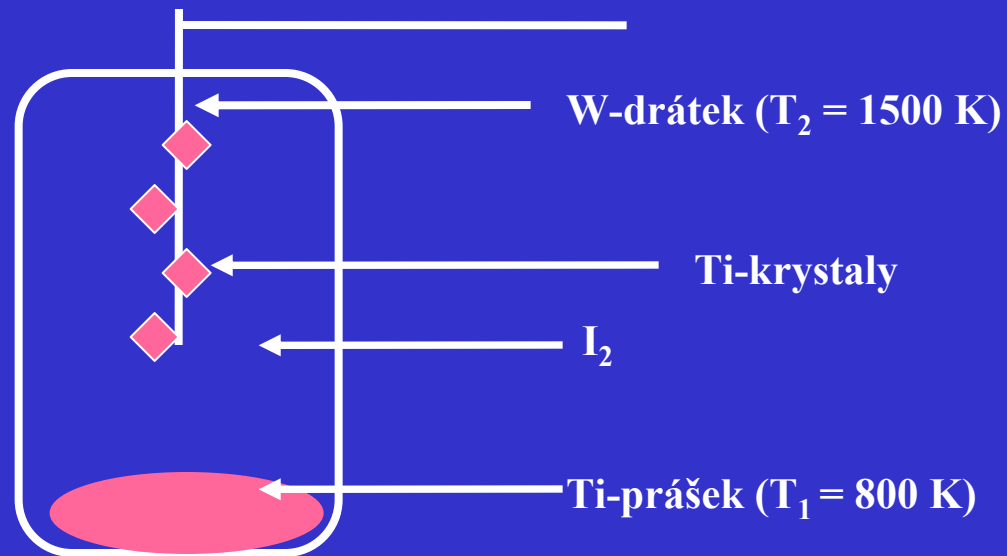


# Hydrotermální metoda

Teplotní gradient



## Van Arkelova metoda



**exothermní: transport z chladnějšího na horký konec**

## Krystalizace z roztoku

**KDP krystaly**  
**( $\text{KH}_2\text{PO}_4$ )**

**Přesycený roztok**

**Očkování**

**Pomalé chlazení**



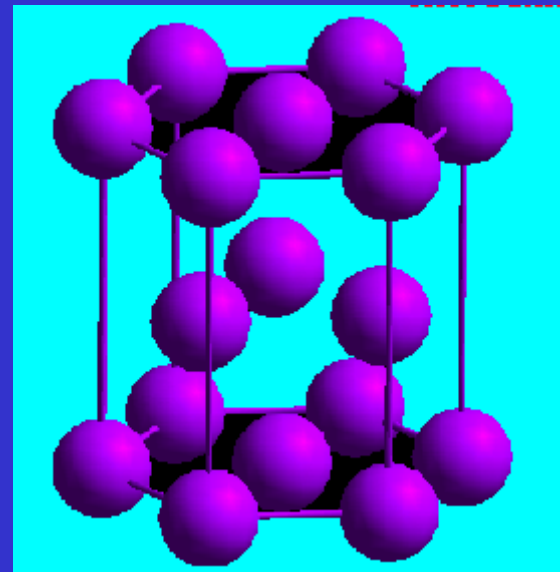
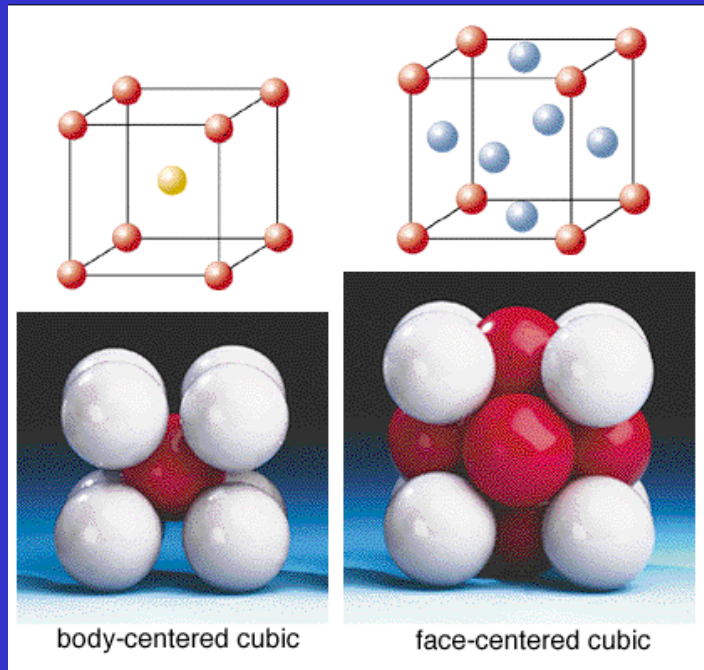


# Struktura kovů

Nejtěsnější kubické uspořádání

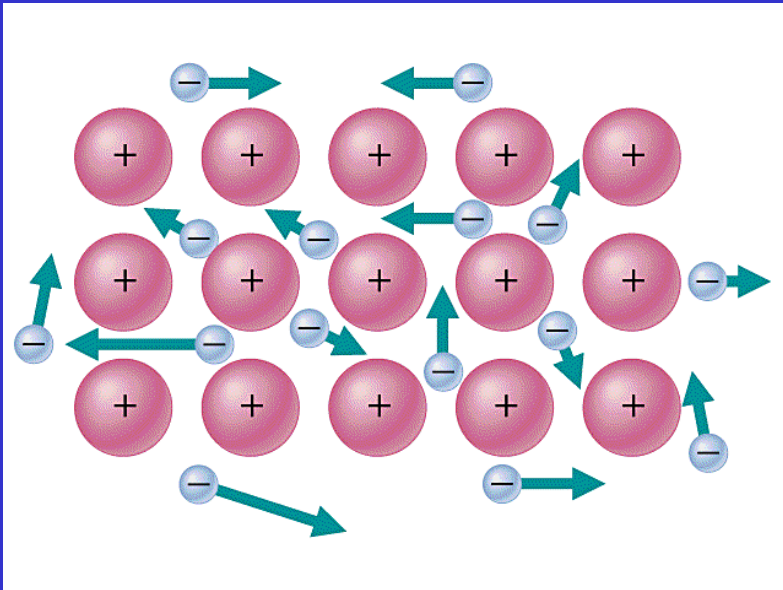
Nejtěsnější hexagonální uspořádání

Tělesně centrovaná kubická mřížka





# Elektronový plyn



**Tepelná vodivost:**  
Přenos energie elektrony

## **Elektrická vodivost:**

Elektrony se pohybují volně v poli kladných nábojů jader

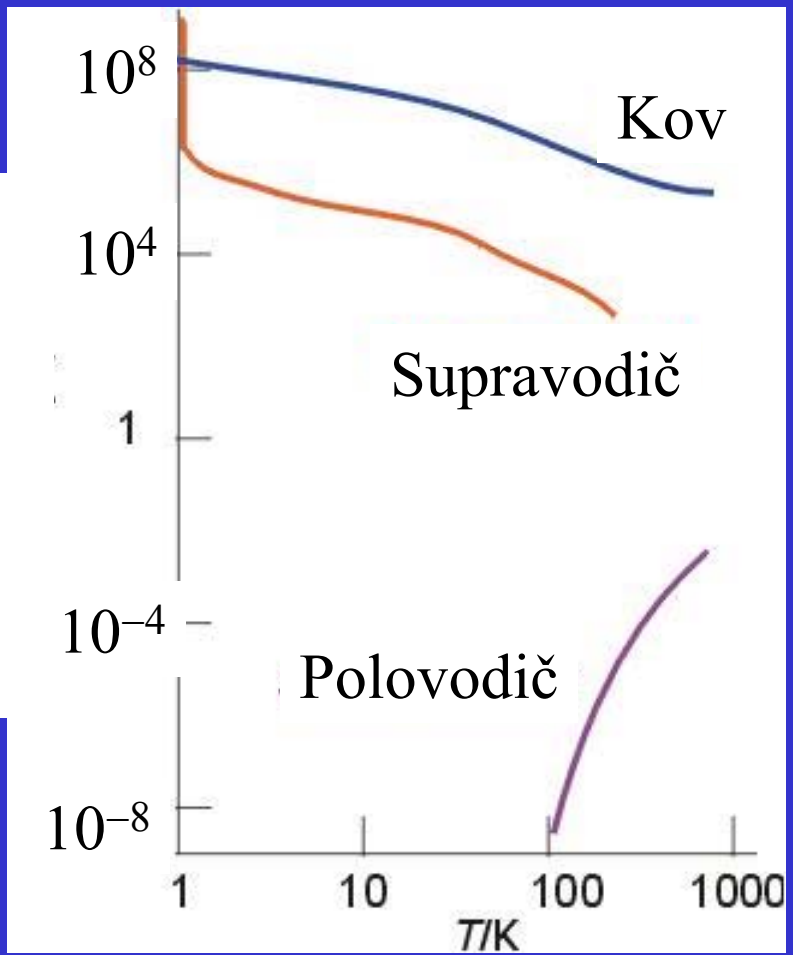
Elektrický odpor kovu roste s teplotou – větší kmity atomů

Elektrický odpor kovu roste s koncentrací nečistot – překážky pohybu elektronů

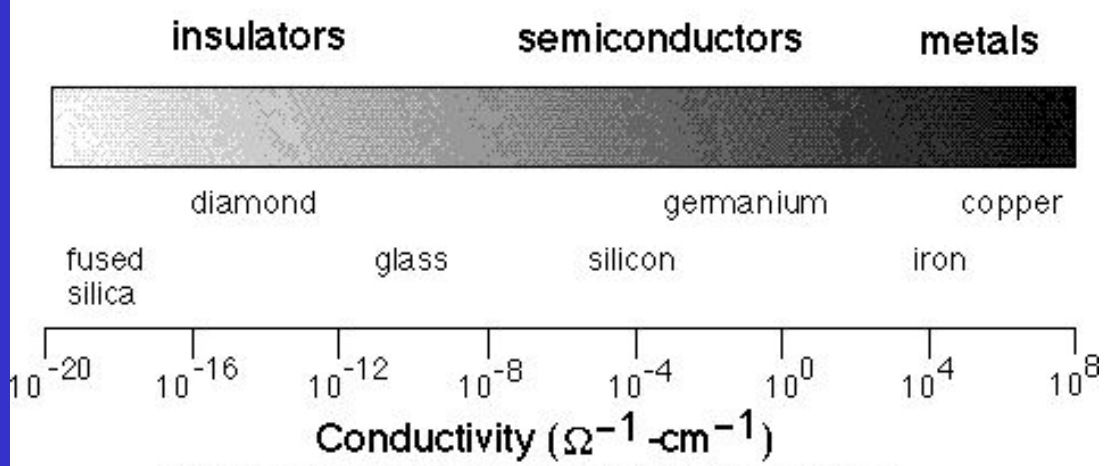
$$R = \frac{1}{\Sigma}$$

$\sigma, S\ cm$

# Elektrická vodivost S a odpor R



## Specifická elektrická vodivost, $\sigma$

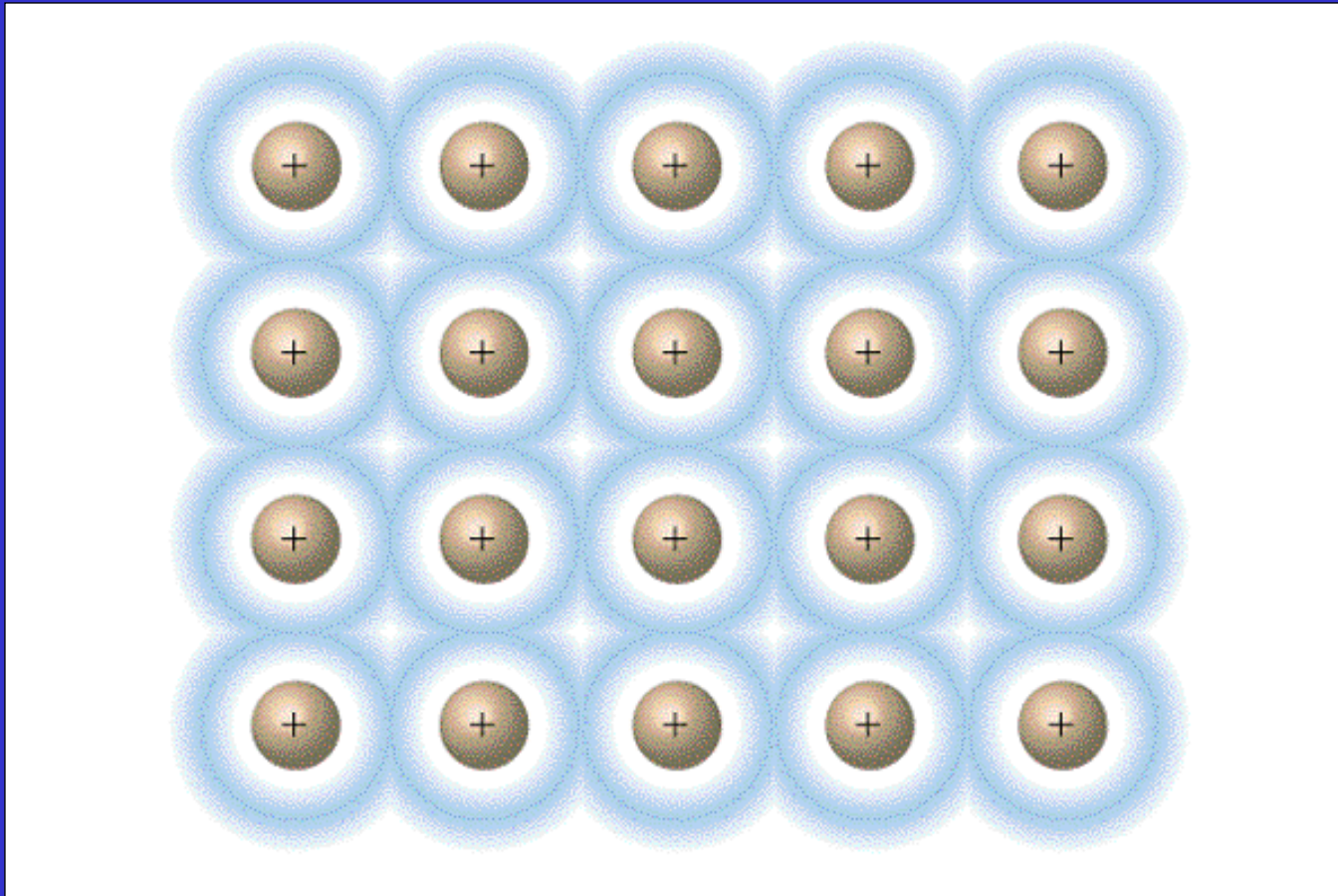


$$R = \rho \frac{l}{A}$$

$$\rho = \frac{1}{\sigma}$$

- R = elektrický odpor,  $\Omega$
- $\rho$  = specifický elektrický odpor,  $\Omega\ m$
- L = délka vodiče, m
- A = průřez vodiče,  $m^2$

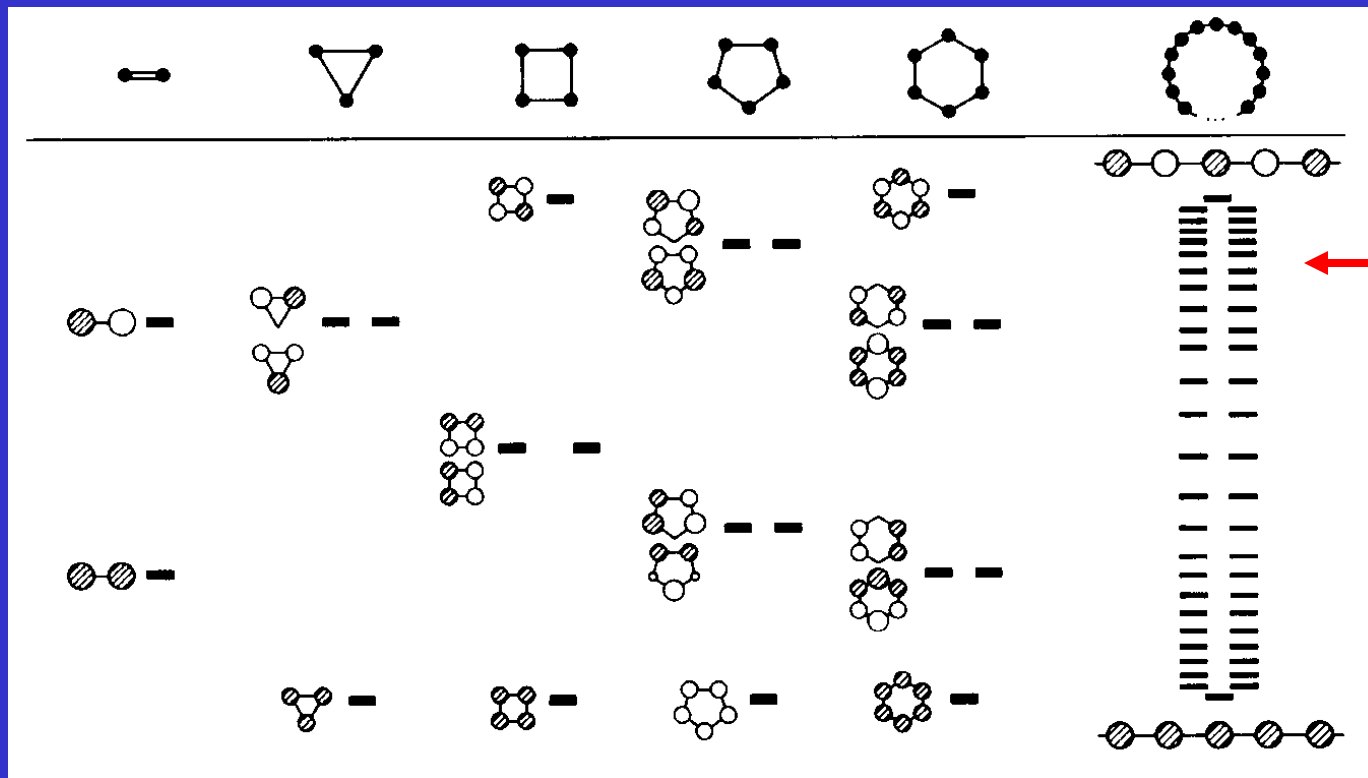
# Kovová vazba



# Pásová teorie

MO pro 2, 3, 4,... $N_A$  atomů

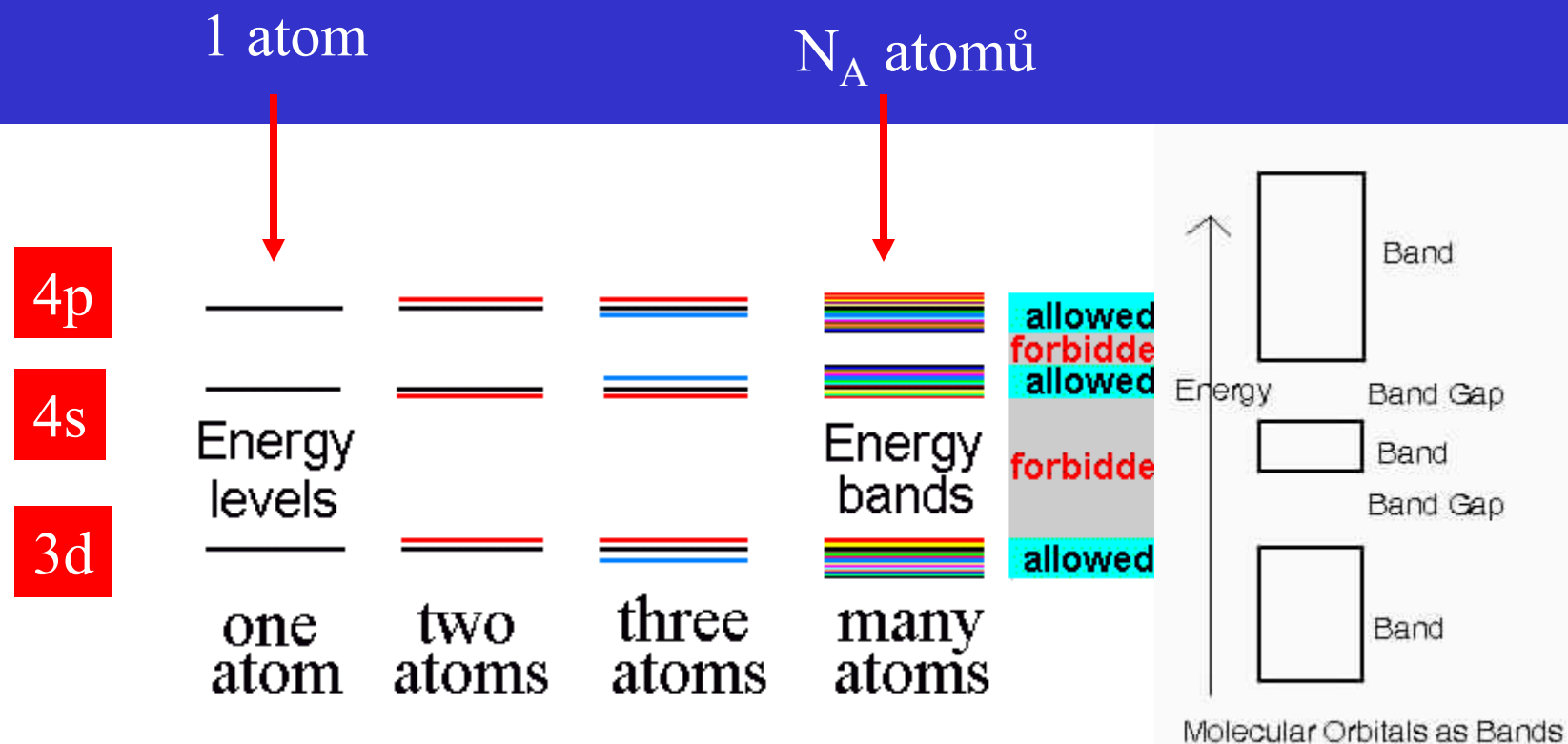
Protivazebné orbitály = vodivostní pás



Mnoho hladin  
s velmi  
blízkou energií  
splyne a  
vytvoří pás

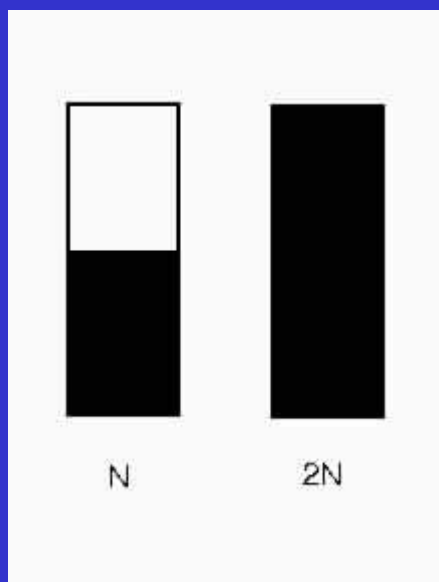
Vazebné orbitály = valenční pás

# Pásová teorie



Energie elektronů je kvantována = mohou mít jen určité hodnoty energie, obsazovat jen povolené hladiny, nesmí se vyskytovat v zakázaných pásech.

## Zaplňování pásů elektrony



$N$  atomů, každý s 1 elektronem

$N$  hladin v pásu

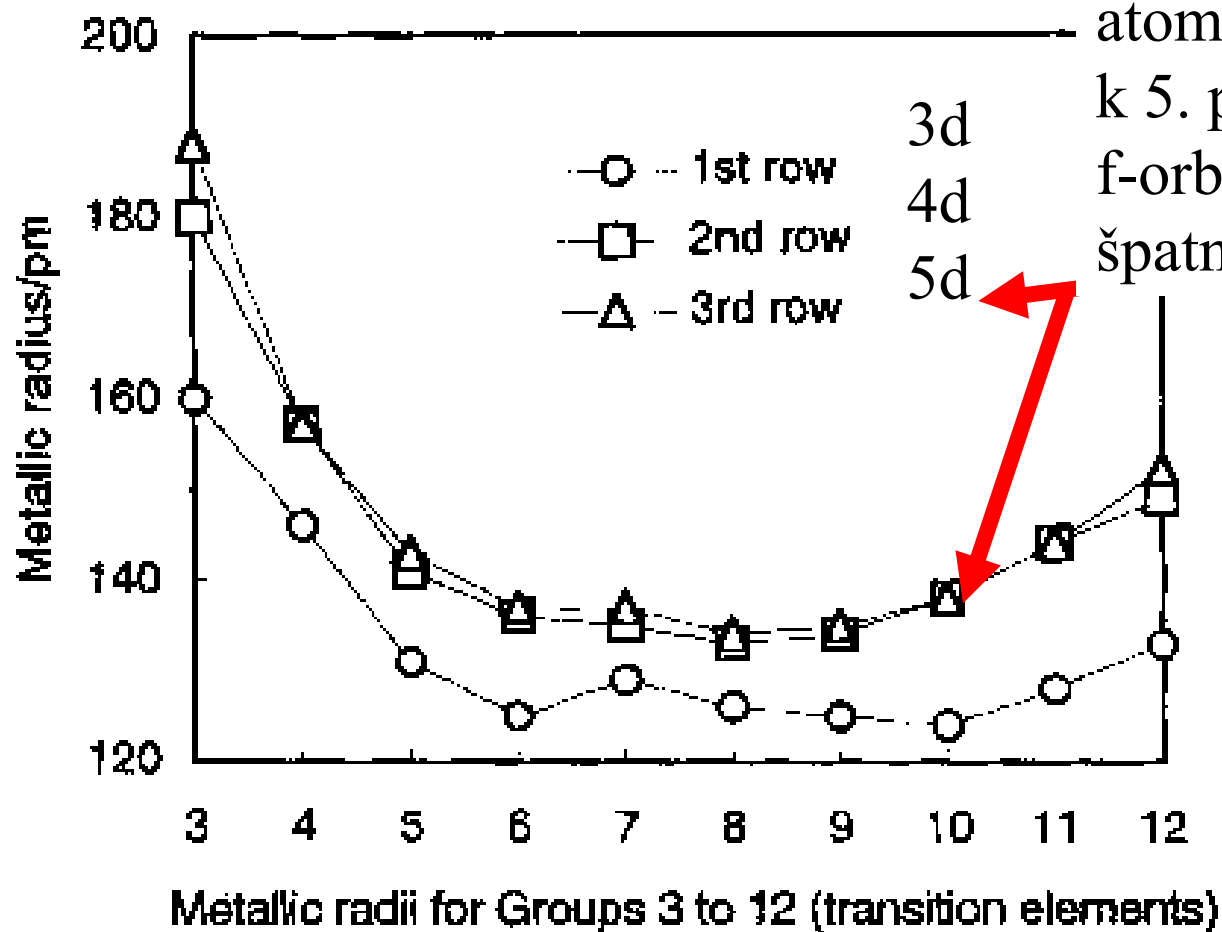
obsazují se dvojicemi elektronů

$N/2$  hladin zaplněno

$N/2$  hladin neobsazeno

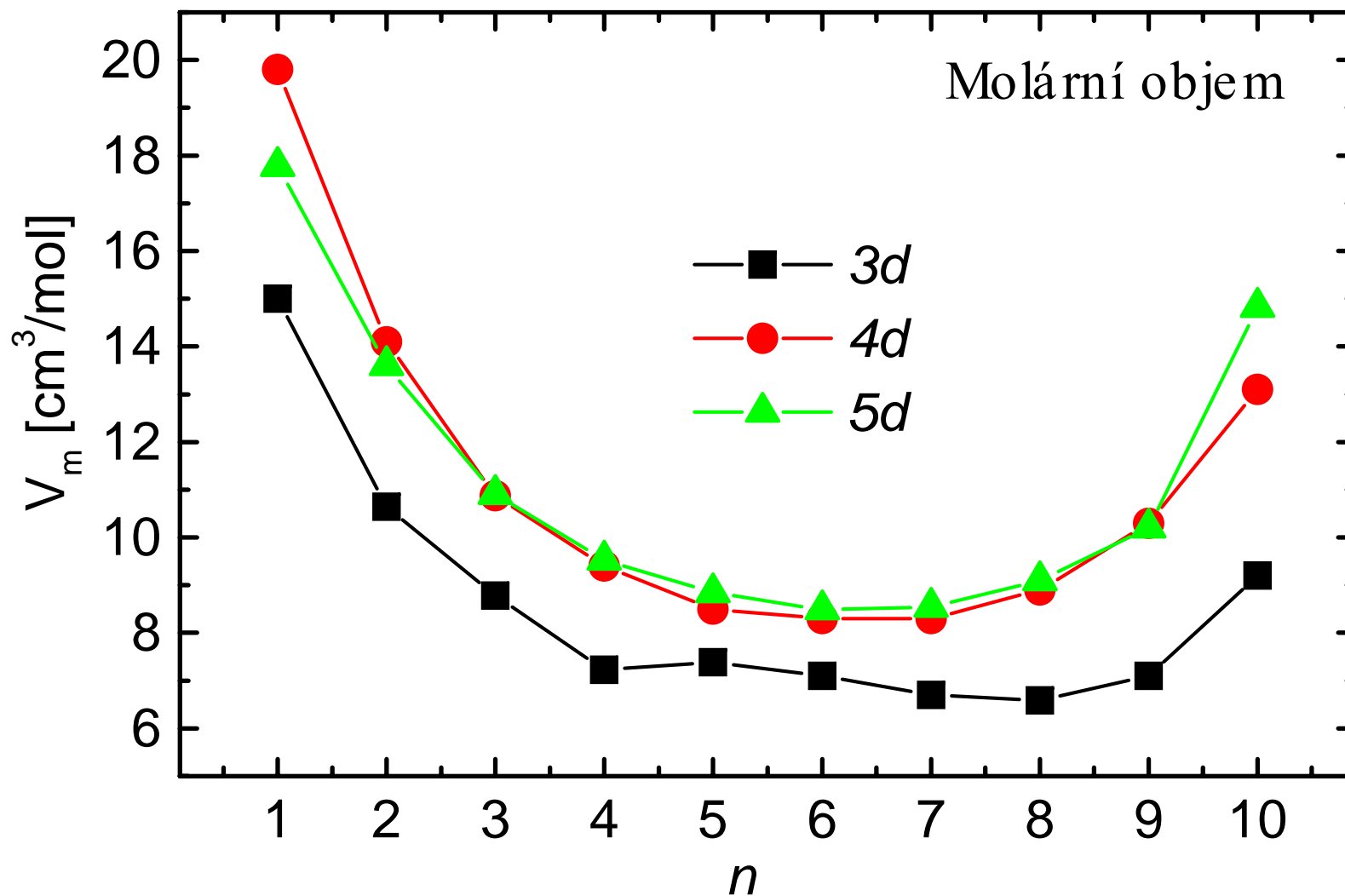


## Atomové poloměry přechodných kovů, pm

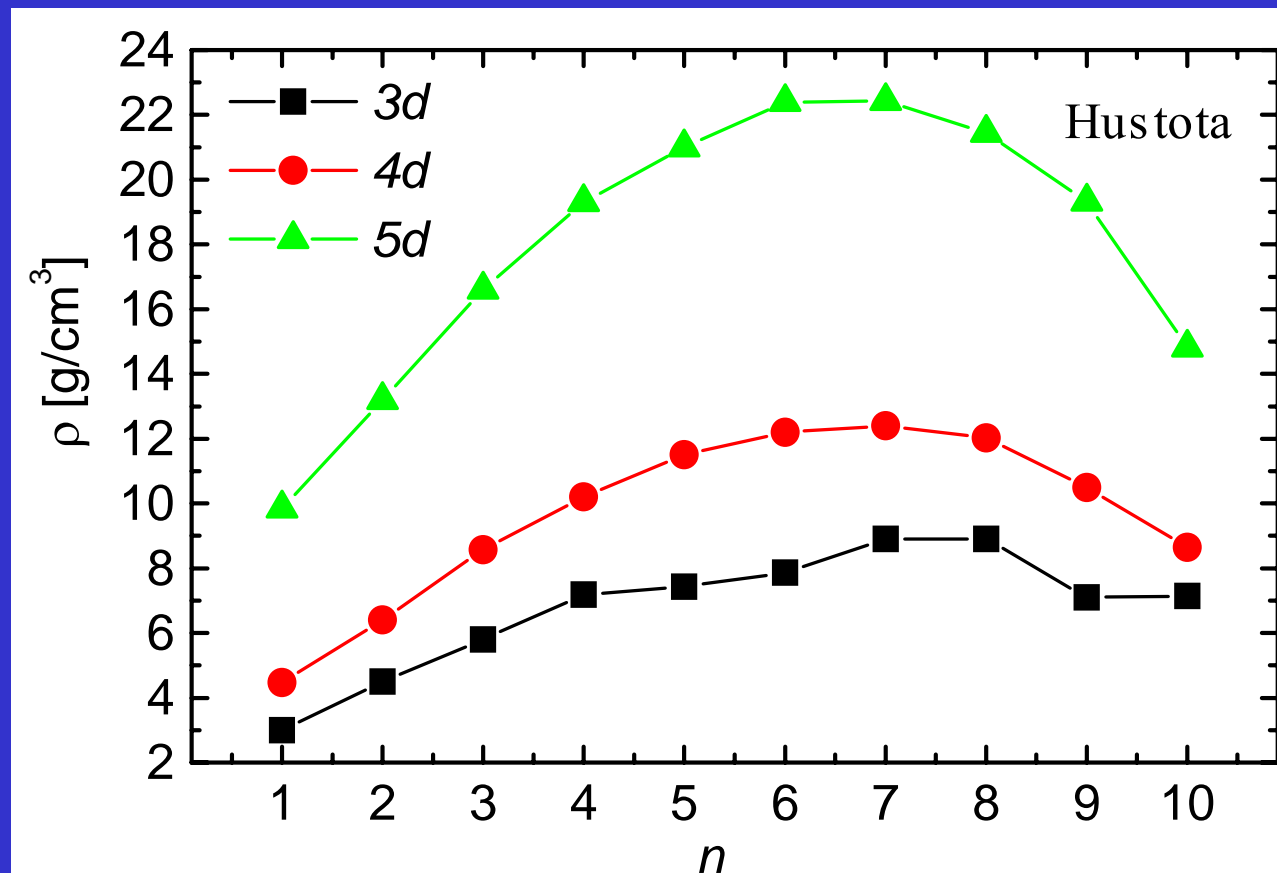


Malý nárůst velikosti atomů při sestupu od 4. k 5. periodě – zaplněné f-orbitaly lanthanoidů špatně stíní náboj jádra

## Molární objem přechodných kovů

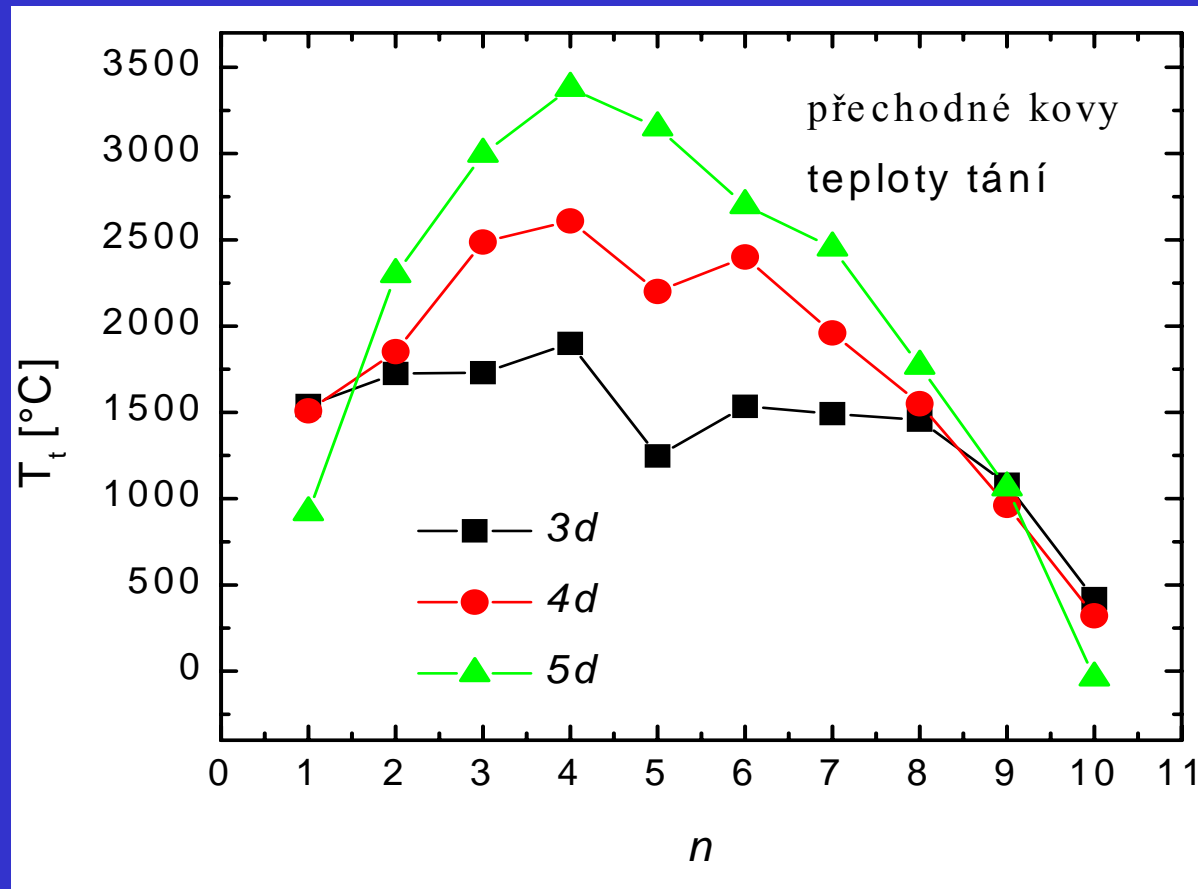


## Hustota přechodných kovů



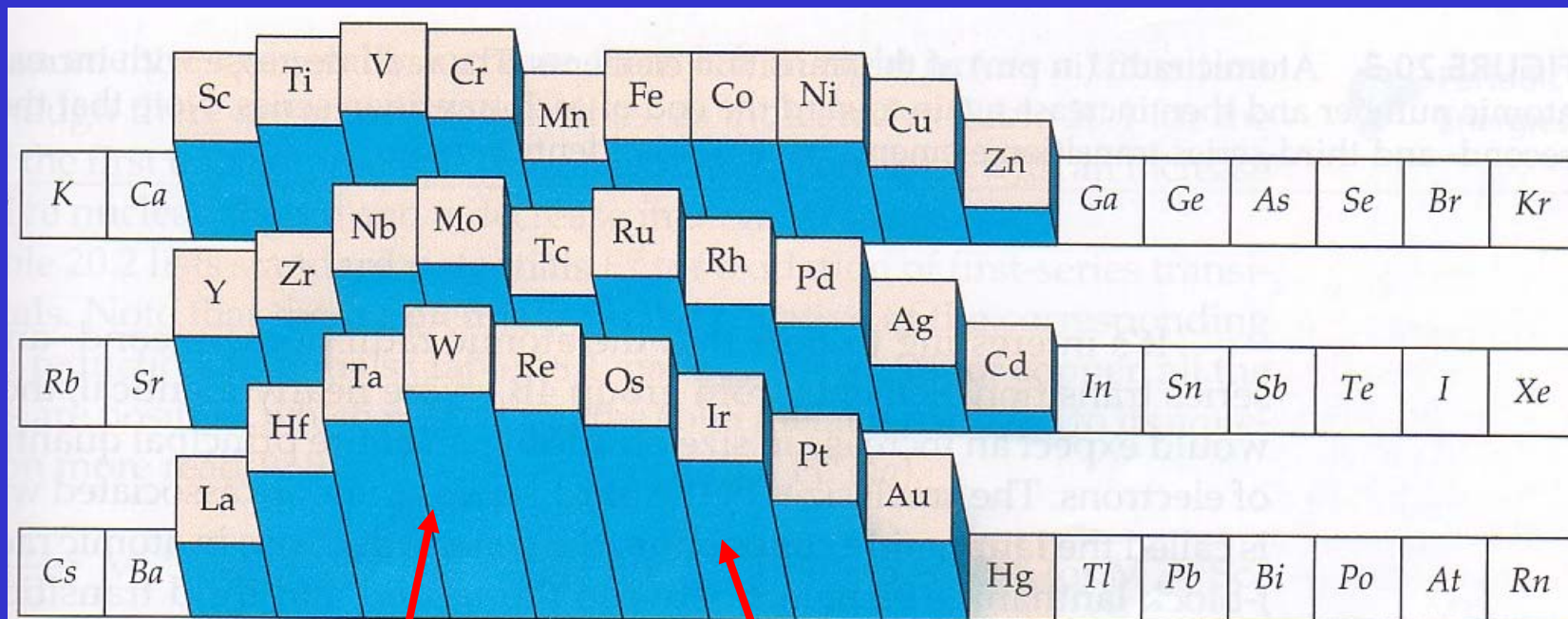
Os 22.5 g cm<sup>-3</sup>  
Ir 22.4 g cm<sup>-3</sup>

## Teploty tání přechodných kovů



Teplota tání = Síla kovové vazby

## Teploty tání přechodných kovů



Zaplňování vazebných orbitalů  $t_{2g}$  (pásů)

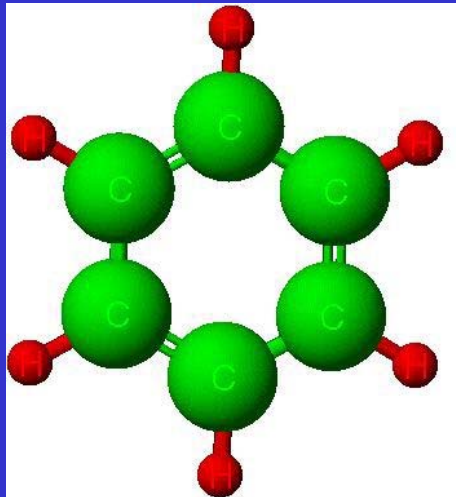
Zaplňování protivazebných orbitalů  $e_g$  (pásů)

## Kapalná rtuť

Kov	El. konf.	T. tání, °C	$\Delta H_{\text{tání}}$ , kJ mol <sup>-1</sup>
Au	5d <sup>10</sup> 6s <sup>1</sup>	1064	12.8
Hg	5d <sup>10</sup> 6s <sup>2</sup>	-39	2.3

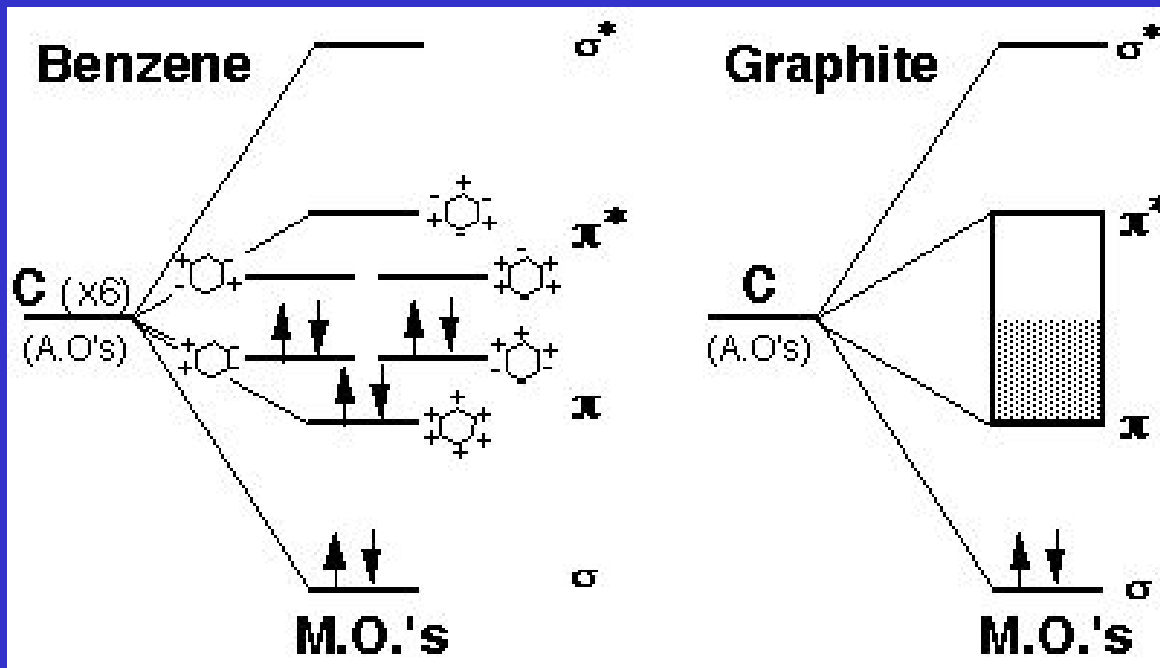
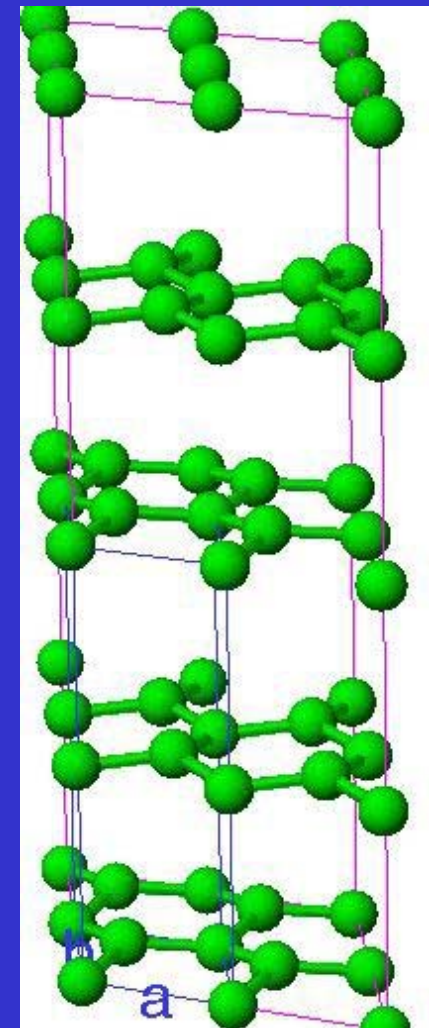
Lanthanidová kontrakce, sníží se energie pásu 6s, vzdálí se od 6p pásu.

6s<sup>2</sup> inertní pár

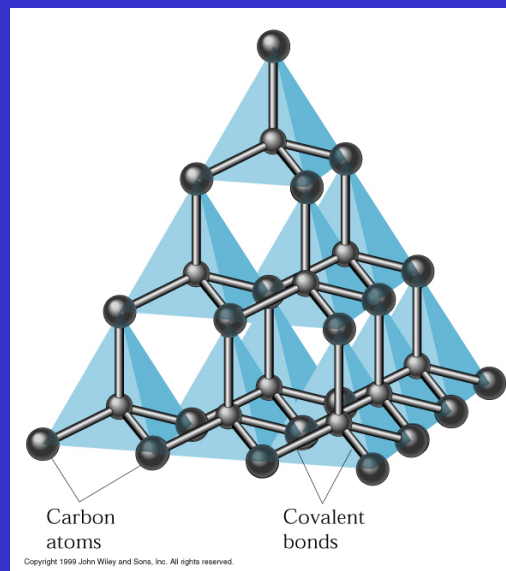
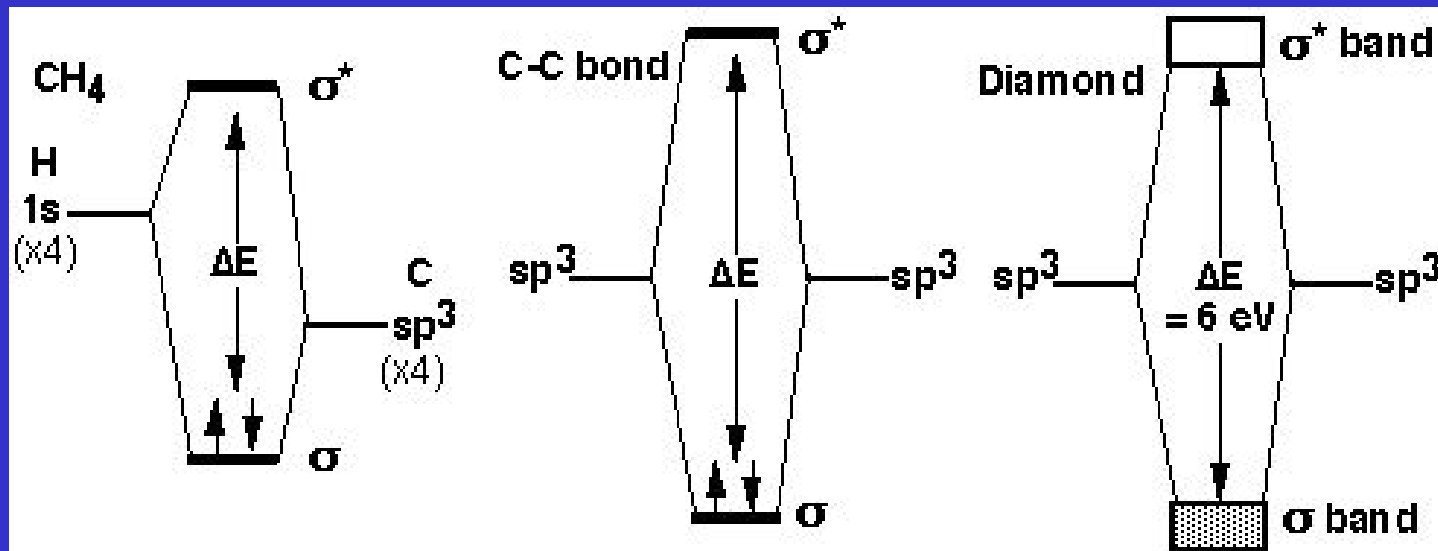


## Pásky v grafitu

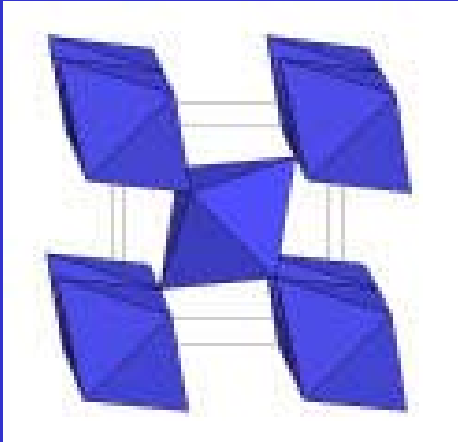
Grafit je elektrický vodič  
Vodivost ve vrstvách



# Pásy v diamantu

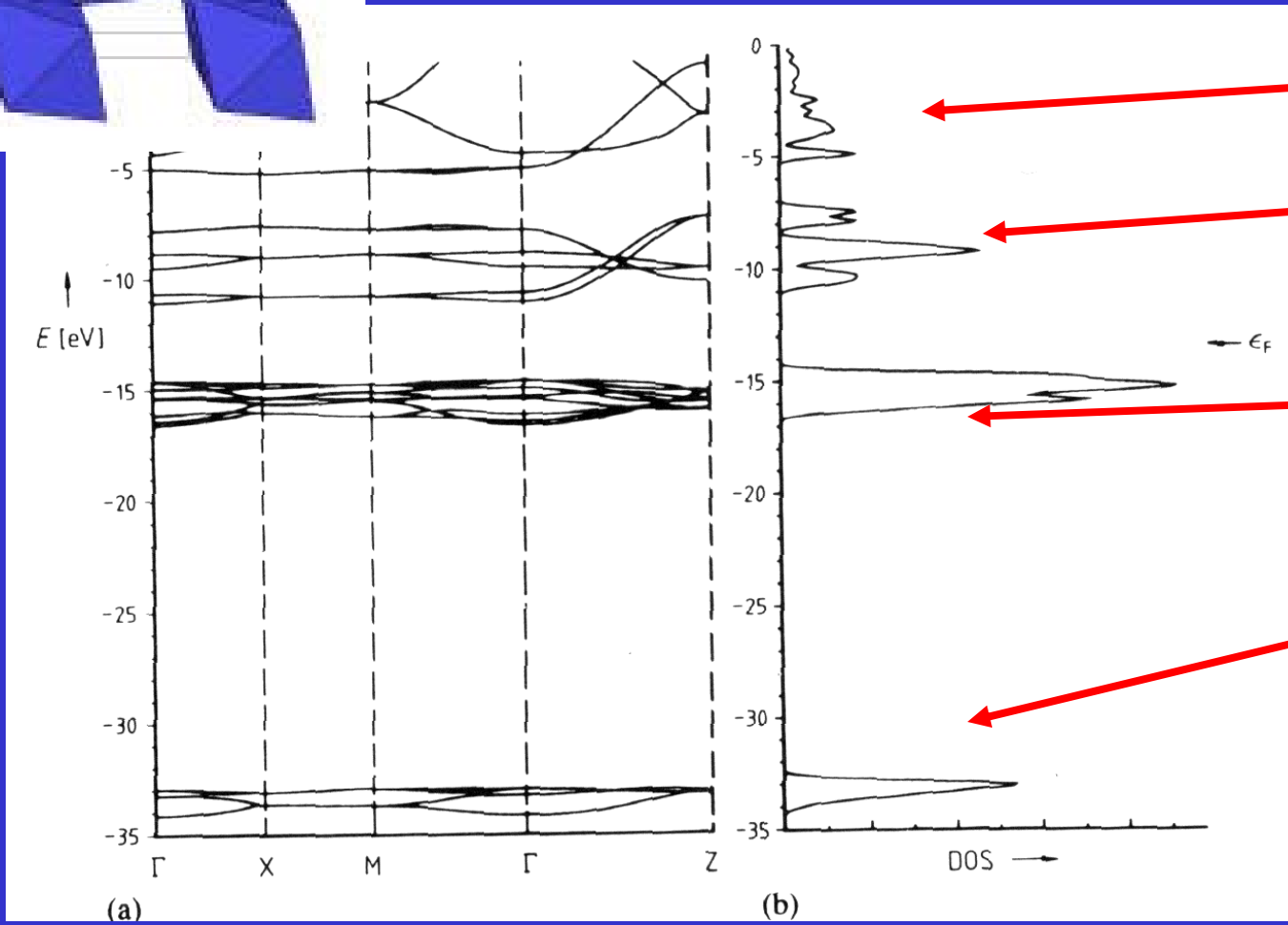






# Hustota hladin v $\text{TiO}_2$

Pásy vzniklé převážně z orbitalů:



Ti  $e_g$

Ti  $t_{2g}$

O 2p

O 2s

# Fermiho hladina

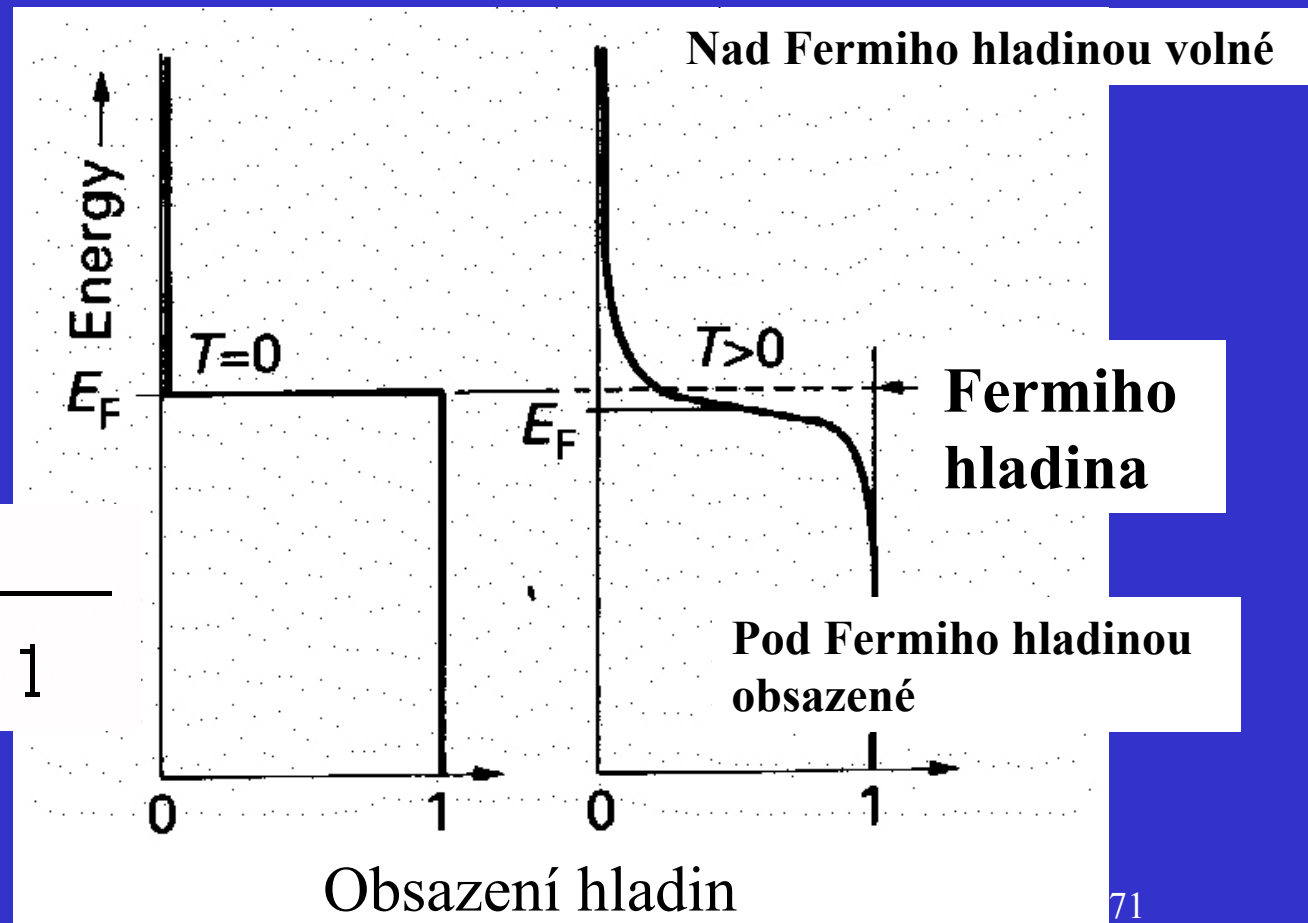
$E_f$  hladina má pravděpodobnost obsazení  $\frac{1}{2}$

hladiny

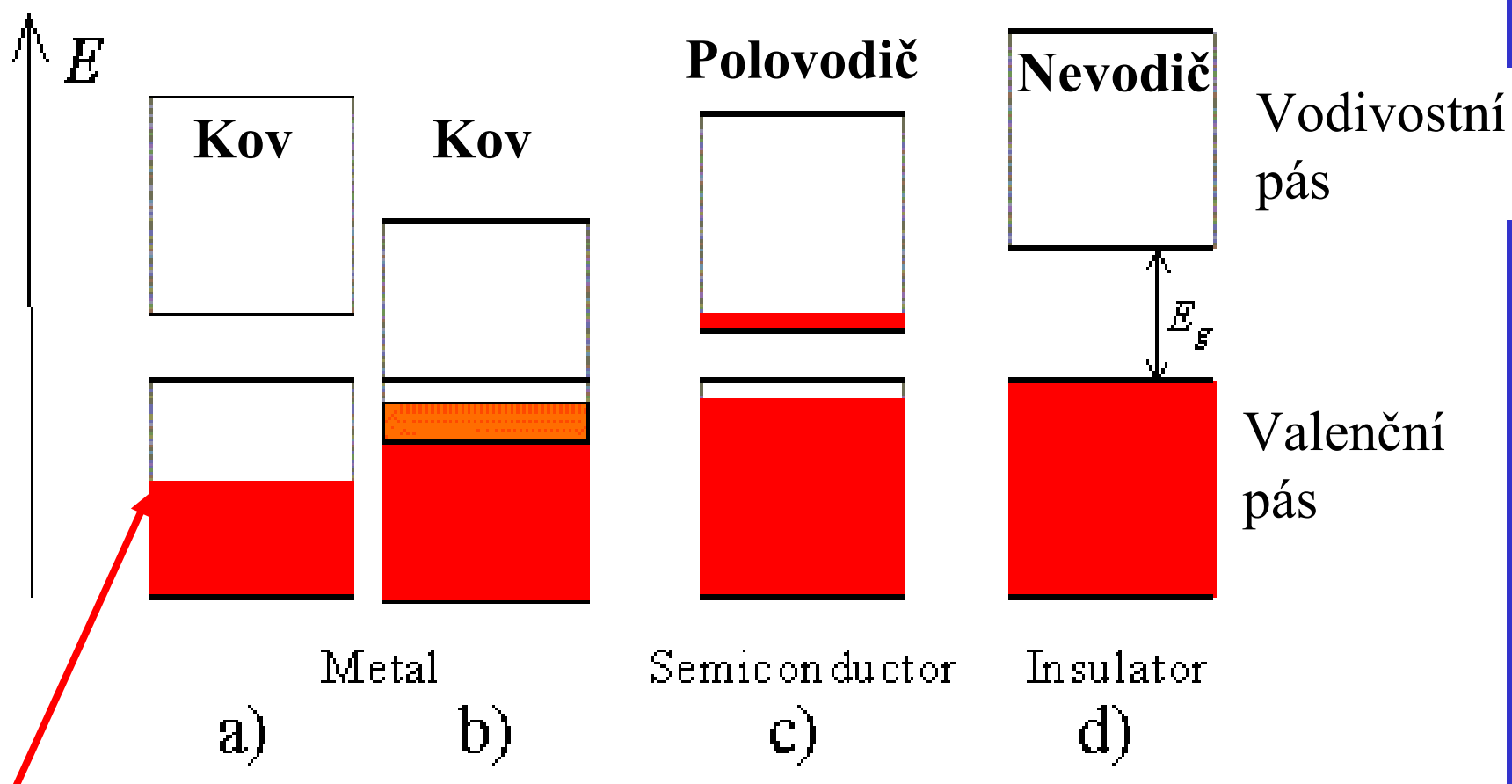
$E < E_f$  obsazené

$E > E_f$  prázdné

$$P = \frac{1}{e^{(E-E_f)/kT} + 1}$$



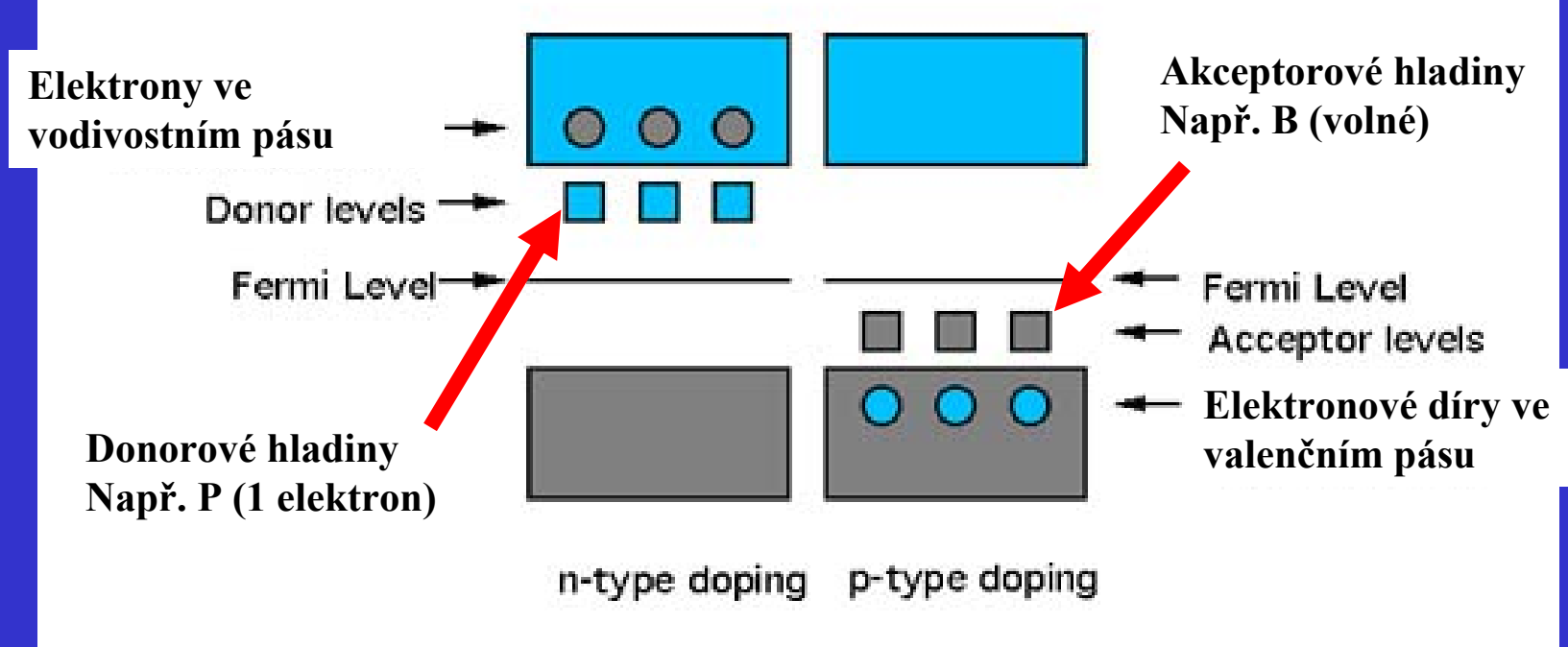
# Kovy, vlastní polovodiče, nevodiče



Fermiho hladina

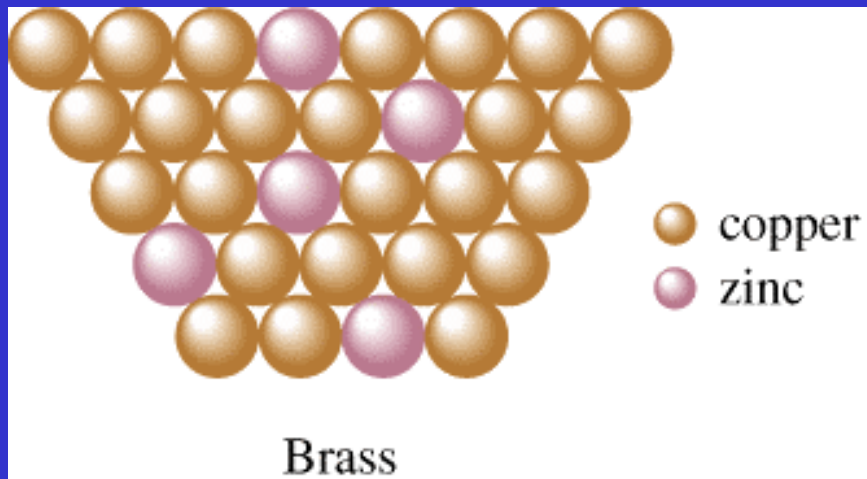
# Dopované polovodiče

## Křemíkové polovodiče typu n a p

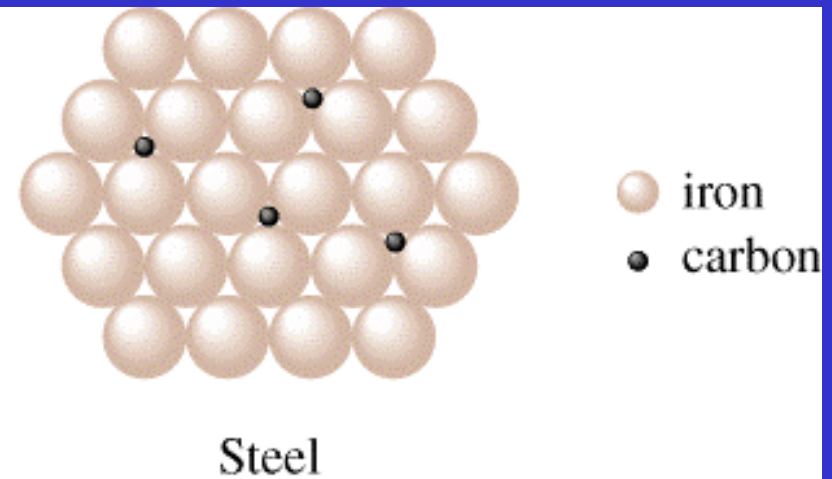


# Slitiny

## Substituční



## Intersticiární

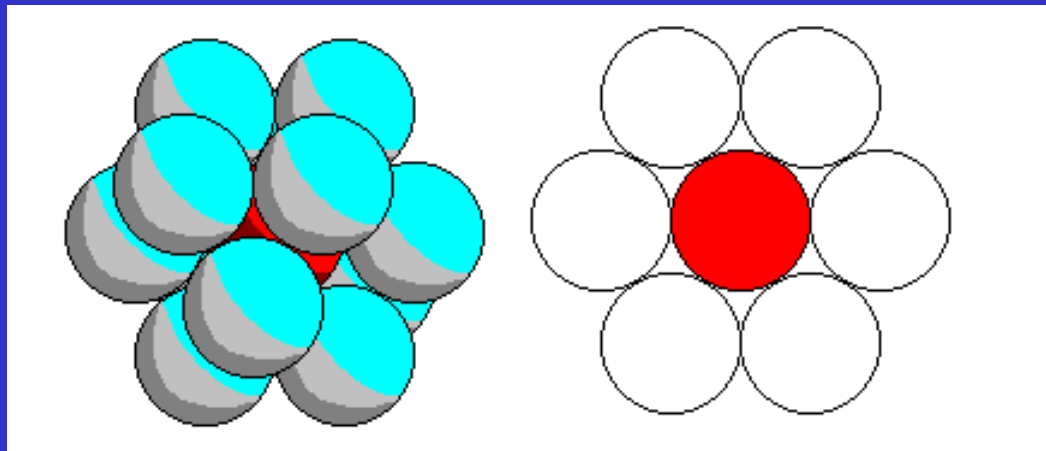
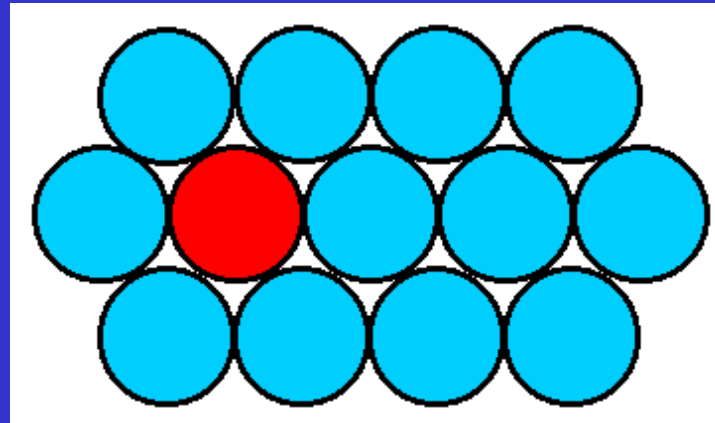
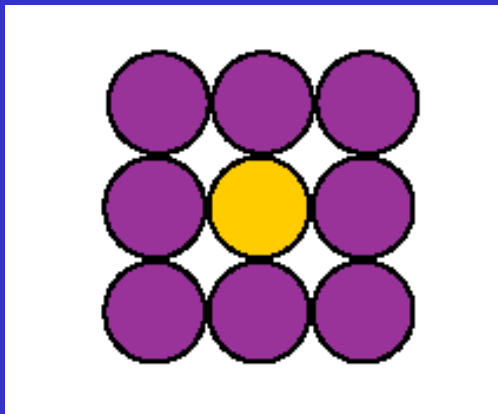


Tuhý roztok  
Podobná velikost atomů

Zaplnění mezer malými atomy  
(C, N, H)  
Pokud stálý poměr kov/nekov  
Intersticiární sloučenina ( $\text{Fe}_3\text{C}$ )

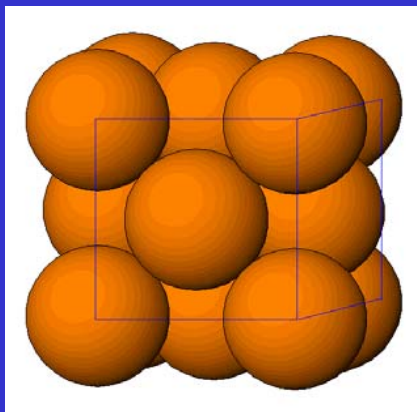
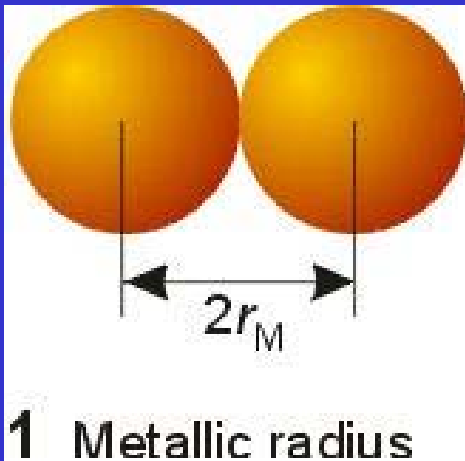
# Koordinační číslo

Koordinační číslo = počet nejbližších susedů

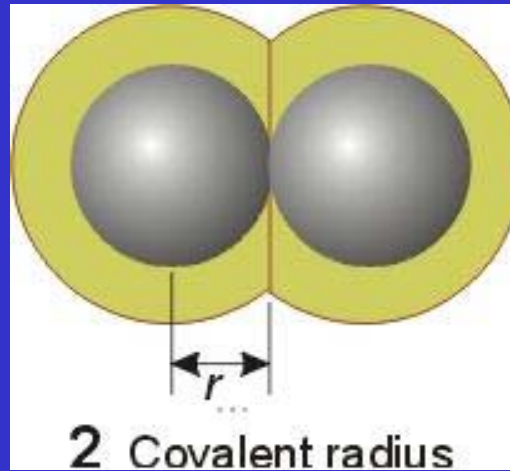


# Velikost atomů a iontů

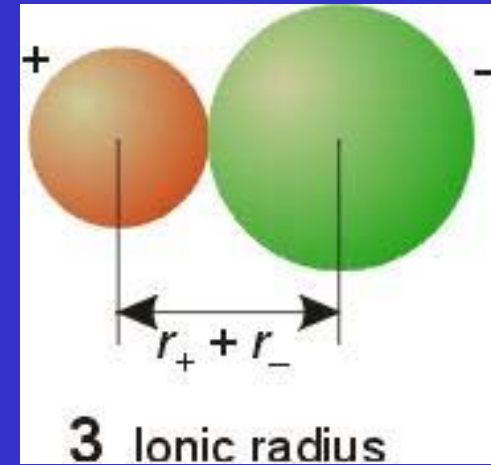
Kovová



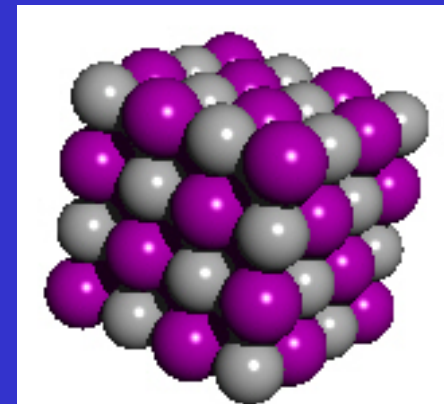
Kovalentní



Iontová

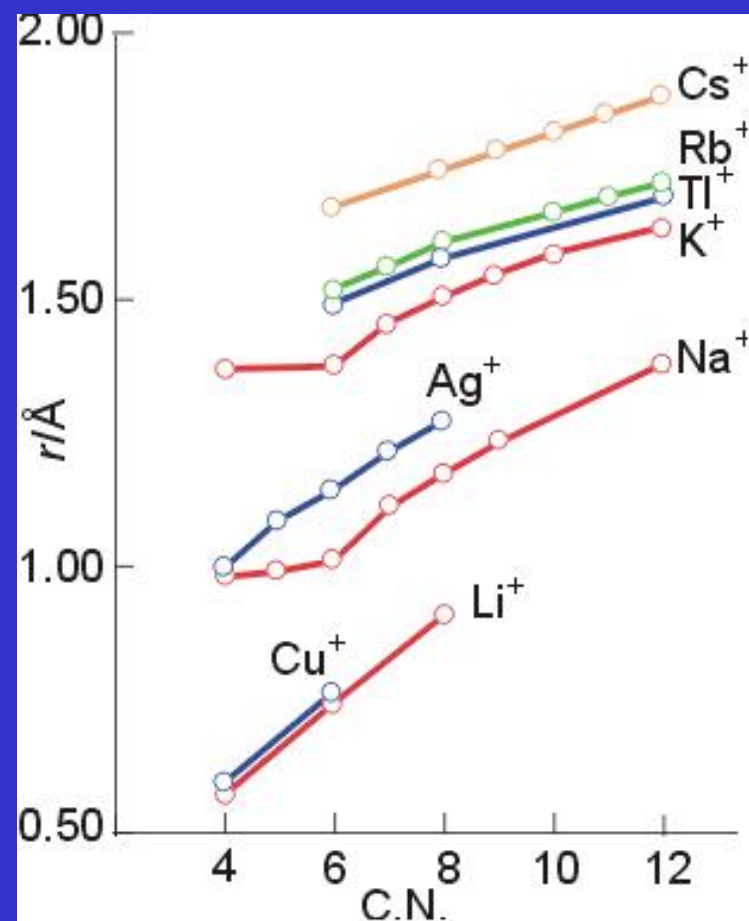
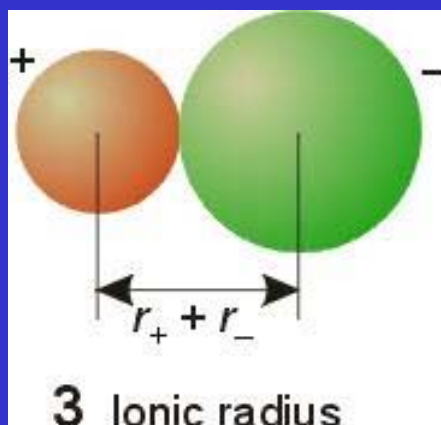


$$r(\text{O}) = 140 \text{ pm}$$



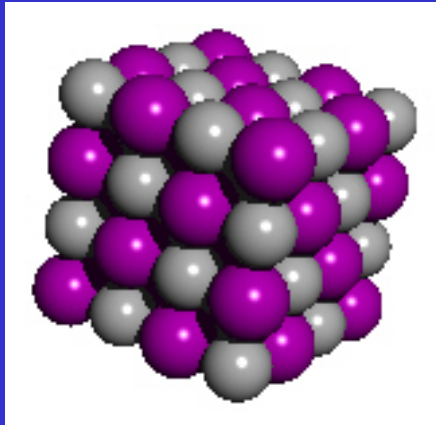
# Iontový poloměr

Iontový poloměr roste s rostoucím koordinačním číslem



Koordinační číslo





Průběh  
elektronové  
hustoty

